

Taj je kapacitet prijenosnog kanala prihvaćen kao osnova za normiranje suvremenih integriranih mreža za prijenos govora, teksta, podataka i slika. Te su mreže, sa skromnim udjelom pokretnih mehaničkih dijelova, nazvane ISDN (Integrated Service Digital Network). Za ilustraciju može se navesti da konvencionalni telegrafski kanal, gdje je  $s = 2$ , ima kapacitet prijenosnog kanala  $C = 2 \cdot 4000 \text{ Hz} \cdot \text{lb}^2 = 8000 \text{ bit/s}$ .

LIT.: C. E. Shannon and W. Weaver, *The Mathematical Theory of Communication*. The University of Illinois Press, Urbana 1949. – G. K. Zipf, *Human Behavior and the Principle of Least Effort*. Addison Wesley, Reading, Mass. 1949. – L. Brillouin, *La science et la théorie de l'information*. Masson, Paris 1959. – W. Meyer-Eppinger, *Grundlagen und Anwendungen der Informationstheorie*. Springer-Verlag, Berlin 1959. – J. R. Pierce, *Symbols, Signs and Noise*. Harper, New York 1961. – N. Chomsky, *Deep Structure, Surface Structure and Semantic Interpretation*. M.I.T. Press, Cambridge, Mass. 1968. – L. P. Hyvärinen, *Information Theory for Systems Engineers*. Springer-Verlag, Berlin 1970. – D. Slepian, *Key Papers in The Development of Information Theory*. IEEE Press, New York 1973. – R. W. Hamming, *Coding and Information Theory*. Prentice-Hall Inc., New Jersey 1980. – V. Matković i V. Sinković, *Teorija informacije*. Školska knjiga, Zagreb 1984.

V. Matković

**TEORIJA PLASTIČNOSTI**, grana mehanike kontinuuma unutar koje se matematički formuliraju odnosi između naprezanja i deformacije tijela u plastičnom stanju te istražuju uvjeti tečenja. U teoriji plastičnosti obraduju se metode za određivanje pomaka, deformacija i naprezanja tijela u elastoplastičnom ili plastičnom stanju. Teorija viskoelastičnosti razmatra odnose naprezanja i deformacija u viskoelastičnim tijelima, tj. tijelima koja imaju svojstva elastičnih tijela i viskoznih kapljivina (v. *Mehanika kontinuuma*, TE 8, str. 186). Viskoplastična su tijela elastična, plastična i viskozna. Takva se tijela ponekad nazivaju i viskoelastoplastičnim.

Razvoj teorije plastičnosti počeo je u drugoj polovici XIX. st. Prve su važnije radove objavili H. Tresca (1864), B. de Saint-Venant i M. Lévy (1871) u Francuskoj. Tresca je proveo eksperimente o ekstruziji i probijanju duktilnih materijala te je na temelju tih eksperimentata formulirao kriterij tečenja materijala koji je poznat kao kriterij najvećega posmičnog naprezanja. Saint-Venant je za ravniško tečenje idealno plastičnog materijala postavio sustav od pet jednadžbi između komponenata naprezanja i deformacije. Pritom je postulirao podudaranje pravaca glavnih naprezanja i glavnih deformacija. Razmatrao je savijanje i uvijanje cilindričnog štapa te raspodjeljuje naprezanja u debeloj cijevi potpuno plastificiranoj djelovanjem unutrašnjeg tlaka. Lévy je proširoj Saint-Venantovu jednadžbu na prostorne probleme povezavši priraste deformacija s devijatorskim komponentama naprezanja. Te se jednadžbe nazivaju Lévy-Misesovim jednadžbama jer ih je R. von Mises (1913) nezavisno formulirao.

Kriteriji tečenja razmatrani su i prije 1864., i to uglavnom za materijal tla. Tako je Ch. A. de Coulomb (1773) predložio kriterij koji nosi njegovo ime. Taj su kriterij primijenili J. V. Poncelet (1840) i W. J. M. Rankine (1853). J. J. Guest je koncem stoljeća ispitivao tečenje cijevi podvrgnute složenom opterećenju osnom silom i unutrašnjim tlakom. Rezultati su objavljeni 1900. i dobro se slažu s Trescim kriterijem najvećega posmičnog naprezanja. M. T. Huber (1904) eksperimentirao je u valjanci čelika i na temelju toga predložio kriterij opisan jednadžbom  $(\sigma_1 - \sigma_2)^2 + (\sigma_2 - \sigma_3)^2 + (\sigma_3 - \sigma_1)^2 = \text{const.}$ , gdje su  $\sigma_1$ ,  $\sigma_2$  i  $\sigma_3$  glavna naprezanja.

Von Mises je (1913), u namjeri da matematički pojednostavni Trescin kriterij, nezavisno od Hubera došao do iste jednadžbe. H. Hencky (1924) dao je Huberovu, odnosno von Misesovu kriteriju fizikalno značenje, tj. pokazao je da tečenje nastaje kad maksimalna energija promjene oblika dostigne kritičnu vrijednost. Prema toj trojici istraživača danas se taj kriterij često naziva *kriterij tečenja HMH*.

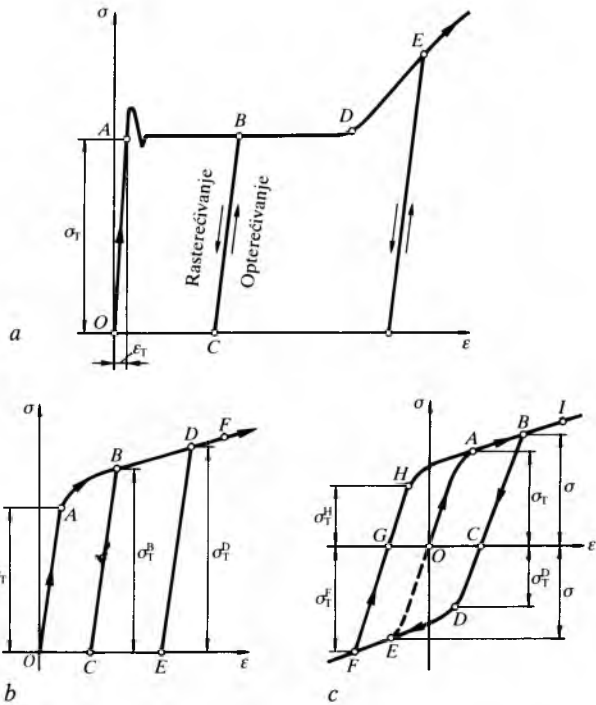
L. Prandtl je (1920) pokazao da se dvodimenzionalni problem plastificiranog tijela može opisati hiperbolnim diferencijalnim jednadžbama, te je na temelju toga riješio problem utiskivanja. A. Nadai je te rezultate eksperimentalno potvrdio. Prandtlovo rješenje specijalnog problema popotpio je H. Hencky uvođeni pojam linija klizanja. Th. von Kármán je (1910) objavio radove o izvijanju štapa u plastičnom području. W. Lode je (1926) ispitivao žlezne, bakrene i niklene cijevi istodobno podvrgnute unutrašnjem tlaku i rastezanju. Rezultati pokusa u prvoj aproksimaciji potvrđuju Lévy-Misesove jednadžbe. A. Reuss je (1930) popotpio Prandtlove jednadžbe pretpostavivši da je prirast plastičnih deformacija u svakom trenutku razmjeran trenutnoj vrijednosti devijatorskih komponenta tenzora naprezanja. Te se jednadžbe nazivaju Prandtl-Reussovim jednadžbama i popotpje su Lévy-Misesovih jednadžbi.

U toku drugoga svjetskog rata, za potrebe ratne industrije, naglo su se razvile sve grane teorije plastičnosti. Taj se razvoj nastavio i nakon rata. U naše se doba razvijaju numeričke metode analize nelinearnih problema mehanike, pa tako i teorije plastičnosti, viskoelastičnosti i viskoplastičnosti.

Razvoju teorije plastičnosti pridonijeli su još A. Haar, R. Hill, A. A. Iljušin, A. Ju. Išlinski, L. M. Kačanov, F. K. G. Odquist, H. Quinney, G. I. Taylor i mnogi drugi.

## EKSPERIMENTALNI PODACI O PLASTIČNOM DEFORMIRANJU

**Dijagrami deformiranja.** Dijagrami ovisnosti naprezanja  $\sigma$  o deformaciji  $\epsilon$  za različite materijale pri rastezanju, odnosno sabijanju, prikazani su na sl. 1. Slični dijagrami prikazuju ovisnost posmičnog naprezanja  $\tau$  o kutnoj deformaciji  $\gamma$ . Prema načinu opterećenja takvi se dijagrami nazivaju dijagramima rastezanja, sabijanja, odnosno smicanja, ili općenito dijagramima deformiranja (v. *Otpornost građevnih materijala*, TE 10, str. 93).



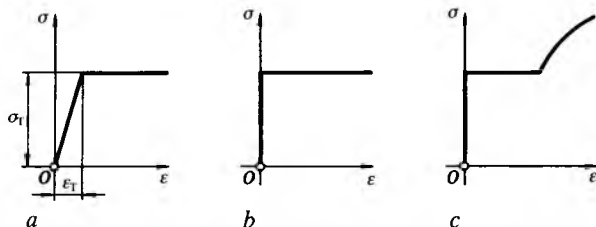
Sl. 1. Dijagrami deformiranja: a za miki čelik, b za obojene metale, c za materijal s Bauschingerovim efektom

Ovisnost naprezanja o deformaciji  $\sigma = \sigma(\epsilon)$ , odnosno posmičnog naprezanja o kutnoj deformaciji  $\tau = \tau(\gamma)$ , vrlo je složena i ovisi o vrsti materijala. Točan matematički opis te ovisnosti uveo bi u teoriju plastičnosti znatne, a često i nepremostive teškoće. Zbog toga se takvi dijagrami idealiziraju (shematisiraju) tako da budu što jednostavniji, a da se pritom što manje razlikuju od stvarnih dijagrama. Kako će se dijagram idealizirati ovisi, između ostalog, i o njegovoj namjeni.

Kad se teorija plastičnosti primjenjuje za projektiranje konstrukcija, dovoljno je uzeti u obzir samo početni dio dijagrama, jer su maksimalne plastične deformacije koje nastaju u eksploraciji konstrukcije istog reda veličine kao maksimalna elastična deformacija  $\epsilon_T$  (sl. 1a). Nasuprot tome, pri obradbi metala deformiranjem deformacije su velike, pa treba uzeti u obzir čitavo područje dijagrama deformiranja. Tada su, međutim, elastične deformacije malene u usporedbi s plastičnim, pa se mogu zanemariti.

Dijagram na sl. 1a vrijedi za miki čelik. Kad naprezanje dostigne granicu tečenja  $\sigma_T$ , deformacija  $\epsilon$  raste neko vrijeme bez porasta naprezanja (dio dijagrama ABD). Ta je deformacija mnogo veća od deformacije  $\epsilon_T$ . Na kraju u točki D materijal očvršćuje deformiranjem, pa je dalja deformacija moguća samo uz porast naprezanja. Dijagrami se za takve materijale, kad se upotrebljavaju za dimenzioniranje konstrukcija, idealiziraju prema sl. 2a. Tako idealizirani materijal naziva se elastično-idealno plastični materijal. Kad se radi o obradbi deformiranjem, materijal se idealizira kao kruto-idealno plastični prema sl. 2b ili 2c.

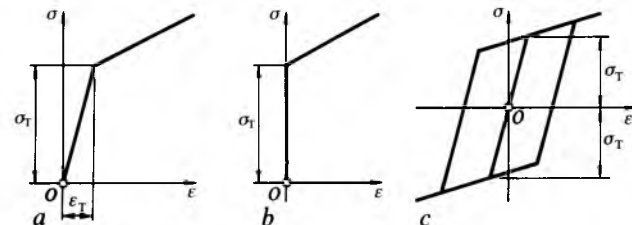
Dijagram na sl. 1b vrijedi za aluminij, bakar, magnezij ili njihove slitine i druge slične materijale. Takvi materijali nemaju izraženu granicu tečenja, pa se uvodi pojam *konven-*



Sl. 2. Idealizirani dijagrami rastezanja mekog čelika: a) elastično-idealno plastični materijal, b) kruto-idealno plastični materijal, c) očvrstivi materijal

cionalne granice tečenja  $\sigma_{0,2}$ . Ta se granica tečenja definira kao naprezanje koje uzrokuje trajnu (plastičnu) deformaciju od 0,2%. Rasterećenje se uviđe po pravcu (BC, odnosno DE na sl. 1b). Ako se materijal u stanju B rastereti do C i zatim ponovno optereti, on se ponaša linearno sve dok naprezanje ne dostigne vrijednost koju je imalo neposredno prije rasterećenja (naprezanje  $\sigma_T^B$ ). To je nova granica tečenja koja je porasla zbog očvršćenja materijala deformiranjem.

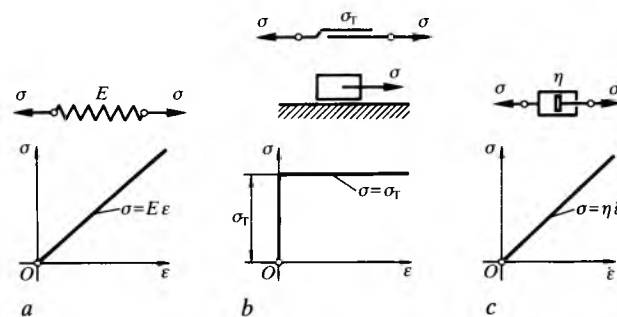
Efekt smanjenja granice tečenja pri promjeni predznaka naprezanja (rastezanje i sabijanje) naziva se Bauschingerovim efektom (sl. 1c), prema J. Bauschingeru. Ako se takav materijal rasteže od polaznog stanja, dijagram ima tok OAB. Nakon rasterećenja naprezanje se linearno smanjuje do točke C. Ako se tada materijal tlači, dijagram se mijenja po liniji CDEF, pa je  $\sigma_T^D < \sigma_T$ . Kad bi se materijal u stanju C ponovno rastezao, deformirao bi se prema dijelu dijagrama CBI. Prema tome, deformiranjem se povećava granica tečenja ako je ponovno opterećenje istog predznaka. Granica tečenja, međutim, smanjuje ako se nakon deformiranja pri ponovnom opterećenju naprezanju mijenja predznak. Ako se naprezanju u točki F promjeni predznak, deformiranje se odvija po pravcu FGH, a zatim po krivulji HABI. Kad bi se materijal u izvornom stanju opteretio tlačno, deformiranje bi se odvijalo po krivulji OEF.



Na sl. 3 prikazani su idealizirani dijagrami deformiranja za dijagrame na sl. 1b i 1c.

Eksperimentima je utvrđeno da se pri plastičnoj deformaciji ne mijenja obujam, tj. da je Poissonov koeficijent  $\nu = 0,5$ .

**Reološki modeli.** Ponašanje materijala prema idealiziranim dijagramima rastezanja može se opisati i pomoću tzv. reoloških modela. Osnovni reološki elementi prikazani su na sl. 4. Oprugom se modelira linearna elastičnost (sl. 4a), suhim trenjem kruto-idealno plastično ponašanje materijala (sl. 4b), a uljnim prigušivačem linearna viskoznost (sl. 4c).



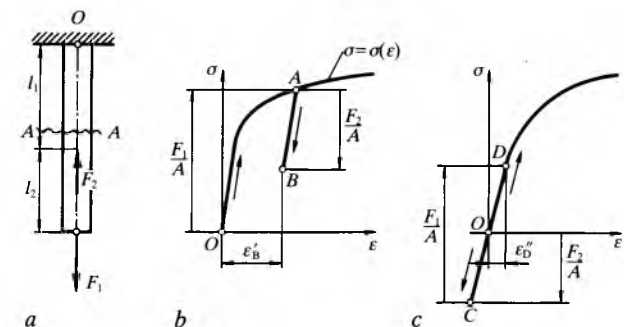
Tablica 1  
REOLOŠKI MODELI

Materijal	Reološki model	Ovisnost $\sigma = \sigma(\epsilon)$
Kruto-idealno plastičan		$\sigma = \sigma_T$ za $\epsilon < \epsilon_T$ $\epsilon = 0$ za $\sigma < \sigma_T$
Elastično-idealno plastičan		$\sigma = E\epsilon$ za $\epsilon < \epsilon_T$ $\sigma = \sigma_T$ za $\epsilon \geq \epsilon_T$
Kruto-linearno očvrstiv		$\sigma = \sigma_T + \epsilon E_T$
Elastično-linearno očvrstiv		$\sigma = \epsilon E$ za $\sigma < \sigma_T$ $\sigma = \sigma_T + (\epsilon - \epsilon_T)E_T$ za $\sigma > \sigma_T$
Viskoplastičan		$\sigma = f_1(\epsilon, t)$
Viskoelasto-plastičan		$\sigma = f_2(\epsilon, t)$

ranjem osnovnih reoloških elemenata mogu se dobiti reološki modeli kojima se modeliraju različiti tipovi viskoelastičnih i viskoplastičnih materijala (tabl. 1).

### ANALIZA NAPREZANJA U ŠTAPOVIMA

Za jednostavnu analizu naprezanja štapova u elastoplastičnom i plastičnom stanju pretpostavlja se da je materijal elastično-idealno plastičan i da ima jednaku granicu tečenja  $\sigma_T$  pri vlačnom i tlačnom naprezanju. Granica je tečenja pri smicanju  $\tau_T$ . Također se pretpostavlja da je opterećenje jednostavno, tj. da sve sile i druga opterećenja počinju djelovati istodobno i da zatim rastu razmjerno zajedničkom faktoru. Pri analizi u plastičnom području ne vrijedi zakon superpozicije (sl. 5), jer naprezanje ovisi o redoslijedu opterećivanja. Ako najprije djeluje sila  $F_1$ , štap će se plastično deformirati. Ako nakon nje djeluje sila  $F_2$ , naprezanje će u presjeku A-A iznositi  $\Delta F/A$ , gdje je  $\Delta F = F_1 - F_2$ , a  $A$  poprečni presjek štapa, pa je  $\Delta F/A < \sigma_T$ . Naprezanje se u tom presjeku mijenja po krivulji OAB. Međutim, ako najprije djeluje sila  $F_2$ , u presjeku A-A nastaje tlačno naprezanje  $F_2/A < \sigma_T$ . Ako zatim djeluje sila  $F_1$  u istom presjeku, nastaje naprezanje  $\Delta F/A$ , koje je jednako kao i u prethodnom primjeru. Naprezanje se mijenja po krivulji OCD bez pojave plastične deformacije.



**Osnovno opterećenje.** Naprezanje u osnovno opterećenom štalu iznosi

$$\sigma_x = \frac{N}{A} \leqq \sigma_T, \quad (1)$$

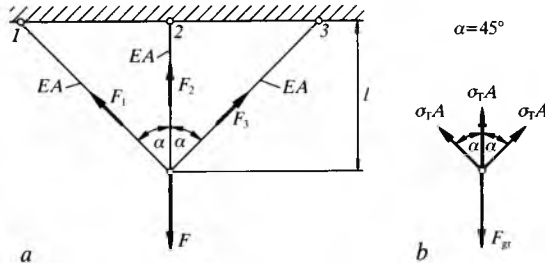
gdje je  $N$  normalna sila, a  $A$  površina poprečnog presjeka. Kad naprezanje dostigne granicu tečenja, počinje neograni-

čeno tečenje, pa je

$$N_{\max} = \sigma_T A \quad (2)$$

najveća sila koju štap može preuzeti.

Ako je štapna konstrukcija statički određena, s pojmom tečenja u jednom od štapa konstrukcija prestaje biti krut lik te se pretvara u mehanizam, tj. nastaje plastični slom konstrukcije. Nasuprot tome, statički neodređena konstrukcija ne prelazi u mehanizam kad se pojavi tečenje u jednom od štapa. Osim toga, plastična je deformacija u tom štalu malena, reda veličine  $\epsilon_T$ , jer susjedni štapovi koji su još u elastičnom stanju preuzimaju povećano opterećenje i sprečavaju neograničeno tečenje štapa.



Sl. 6. Određivanje graničnog opterećenja statički neodređene konstrukcije. a) konstrukcija s tri štapa, b) dijagram sila pri graničnom opterećenju, A presjek štapa, E Youngov modul elastičnosti

To se može rastumačiti konstrukcijom sastavljenom od tri štapa (sl. 6). Analizom u elastičnom području mogu se odrediti sile u štapovima koje iznose

$$F_1 = F_3 = \frac{\cos^2 \alpha}{1 + 2 \cos^3 \alpha} F = 0,2929 F, \quad (3a)$$

$$F_2 = \frac{1}{1 + 2 \cos^3 \alpha} F = 0,5858 F, \quad (3b)$$

pa je naprezanje u štapovima  $\sigma_{x1} = \sigma_{x3} = 0,2929 F/A$  i  $\sigma_{x2} = 0,5858 F/A$ . Kad je sila  $F = F_T = 1,707 \sigma_T A$ , naprezanje je u srednjem štalu jednako granici tečenja  $\sigma_T$ . S povećanjem opterećenja rastu deformacije u sva tri štapa. Naprezanje u srednjem štalu ostaje konstantno ( $\sigma_T$ ), a u ostala dva štapa raste. S daljim povećanjem opterećenja naprezanje će u štapovima 1 i 3 dostići granicu tečenja. Još dalje povećanje opterećenja više nije moguće, pa se to opterećenje naziva *graničnim opterećenjem*  $F_{gr}$ . Granično se opterećenje može odrediti neposredno iz graničnog stanja konstrukcije ne uzimajući u obzir njezino ponašanje u elastičnom području. Tako je prema sl. 5b:

$$F_{gr} = \sigma_T A + 2 \sigma_T A \cos \alpha = 2,414 \sigma_T A. \quad (4)$$

**Metoda graničnog opterećenja.** U nauci o čvrstoći (v. Nauka o čvrstoći, TE 9, str. 277) dijelovi se strojeva i konstrukcija dimenzioniraju tako da se odredi maksimalno naprezanje  $\sigma_{\max}$ , odnosno maksimalno ekvivalentno naprezanje  $\sigma_{ekv\max}$  kad se radi o višeosnom naprezanju. Zatim se traži ispunjenje uvjeta čvrstoće koji glasi:

$$\sigma_{\max} \leq \sigma_{dop} \text{ ili } \sigma_{ekv\max} \leq \sigma_{dop}, \quad (5)$$

gdje je  $\sigma_{dop}$  dopušteno naprezanje. Na temelju tog uvjeta određuje se dopušteno opterećenje  $F_{dop}$ .

Nasuprot tome, kad se dimenzionira metodom graničnog opterećenja, određuje se  $F_{gr}$  neposredno, a zatim se primjenom faktora sigurnosti  $S$  određuje dopušteno opterećenje  $F_{dop}$

$$F_{dop} = \frac{F_{gr}}{S}. \quad (6)$$

Uobičajena vrijednost faktora sigurnosti za noseće čelične konstrukcije iznosi 1,5. Ako se taj faktor sigurnosti primjeni na izraz (4), dobiva se dopušteno opterećenje  $F_{dop} = F_{gr}/S = 1,609 \sigma_T A$ , koje je manje od najvećeg opterećenja u elastičnom području  $F_t = 1,707 \sigma_T A$ . To znači da se u normalnoj eksploataciji u takvima konstrukcijama neće pojaviti

plastične deformacije, iako je dopušteno opterećenje dobitno na temelju analize u plastičnom području. Ako se plastične deformacije ipak pojave, one će se neznatno razlikovati od  $\epsilon_T$ .

Dopušteno opterećenje na temelju elastične analize i uz jednak faktor sigurnosti 1,5 iznosi  $F_{dop} = 1,707 \sigma_T A / 1,5 = 1,138 \sigma_T A$ .

Nosivost je konstrukcije mnogo veća ako se dimenzionira metodom graničnog opterećenja. U ovom primjeru povećanje nosivosti iznosi 41%. Dimenzioniranje metodom graničnog opterećenja ne samo da osigurava uštedu materijala nego se često i lakše provodi. Međutim, metoda graničnog opterećenja ne može se uvijek primijeniti. Ne smije se primijeniti ako se konstrukcija ciklički opterećuje (npr. motori s unutrašnjim izgaranjem i sl.), ako se zahtijeva da konstrukcija izrađuje proizvode velike preciznosti (npr. alatni strojevi), ili pak kad materijal nije dovoljno duktilan.

### Savijanje prizmatičnih štapa

Analiza savijanja prizmatičnih štapa u elastoplastičnom stanju provodi se uz iste pretpostavke o deformiranju i raspodjeli naprezanja kao i u elastičnom području (v. Nauka o čvrstoći, TE 9, str. 301). Na temelju istovjetne geometrijske analize dobit će se

$$\epsilon_x = \frac{z}{\rho} \quad (7)$$

gdje je  $z$  koordinata, a  $\rho$  polumjer zakrivljenosti elastične linije.

Neovisno o tome da li se savijanje provodi u elastičnom ili plastičnom stanju, deformacija je uvijek raspodijeljena po presjeku linearno, što ne vrijedi za raspodjelu naprezanja. Dok je štap u elastičnom stanju, raspodjela je naprezanja određena izrazom

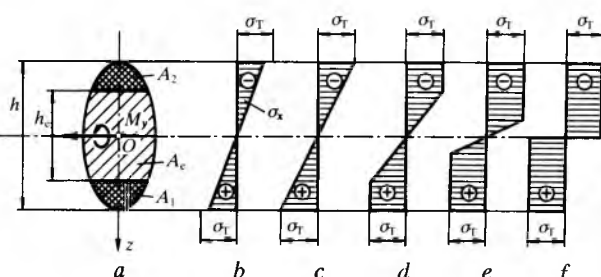
$$\sigma_x = \frac{M_y}{I_y} z, \quad \sigma_{x\max} = \frac{M_y}{W_y}, \quad (8)$$

gdje je  $M_y$  moment savijanja,  $I_y$  moment tromosti, a  $W_y$  moment otpora.

S povećanjem momenta savijanja raste i maksimalno naprezanje koje postaje jednako  $\sigma_T$ . S daljim povećanjem momenta savijanja dio presjeka prelazi u plastično stanje, a štap u elastoplastično stanje. Najveći moment u elastičnom stanju, tj. moment pri kojem štap prelazi iz elastičnog u elastoplastično stanje, označava se kao  $M_{yT}$  i iznosi:

$$M_{yT} = W_y \sigma_T. \quad (9)$$

**Štapi s dvostruko simetričnim presjekom.** Poprečni presjek ima dvije međusobno okomite osi simetrije. Savija se oko jedne od njih koja je ujedno i glavna os tromosti presjeka.



Sl. 7. Razvoj plastičnih naprezanja i deformacija. a) dvostruko simetričan djelomično plastificirani presjek, b) raspodjela naprezanja za  $M_y < M_{yT}$ , c) za  $M_y = M_{yT}$ , d) i e za  $M_{yT} < M_y < M_{ygr}$ , f) za  $M_y = M_{ygr}$

Kad moment savijanja postane veći od  $M_{yT}$ , dodaje se indeks p da se označi pojava plastičnih deformacija u krajnjim vlaknima (sl. 7). S porastom momenta savijanja  $M_{yp}$  plastični se pojasovi na oba kraja presjeka šire, a elastična se jezgra smanjuje. Raspodjela naprezanja u elastoplastičnom stanju, kad je moment savijanja  $M_{yp}$  pozitivan, određena je izrazima:

$$\sigma_x = \sigma_T \frac{2z}{h_e}, \quad -\frac{1}{2}h_e \leq z \leq \frac{1}{2}h_e \text{ u području } A_e, \quad (10a)$$

$$\sigma_x = \sigma_T, \quad \frac{1}{2}h_e \leq z \leq \frac{1}{2}h \text{ u području } A_1, \quad (10b)$$

$$\sigma_x = -\sigma_T, \quad -\frac{1}{2}h \leq z \leq -\frac{1}{2}h_e \text{ u području } A_2, \quad (10c)$$

gdje je  $h$  visina poprečnog presjeka, a  $h_e$  visina elastične jezgre. Kako je

$$M_{yp} = \int_A \sigma_x z dA, \quad (11a)$$

bit će nakon uvršenja jednadžbi (10)

$$M_{yp} = \frac{2\sigma_T}{h_e} \int_{A_e} z^2 dA + \sigma_T \int_{A_1} z dA - \sigma_T \int_{A_2} z dA, \quad (11b)$$

gdje je  $A_e$  površina elastične jezgre, a  $A_1$  i  $A_2$  površine plastičnih pojasa. Prvi je integral jednak momentu tromosti elastične jezgre  $I_{ye}$ , a drugi i treći su jednakim statičkim momentima površina  $A_1$  i  $A_2$  oko osi  $y$ , tj.  $S_{y1}$  i  $S_{y2}$ . Kako površine  $A_1$  i  $A_2$  imaju jednak oblik i površinu, a nalaze se sa suprotnih strana osi  $y$ , bit će  $S_{y2} = -S_{y1}$ . Također je  $I_y/h_e = W_{ye}$ , pa izraz (11b) prelazi u oblik

$$M_{yp} = \sigma_T (W_{ye} + 2S_{y1}). \quad (12)$$

Kad  $M_{yp}$  raste, plastični se pojasci povećavaju, a elastična jezgra smanjuje. Kad  $h_e$  teži nuli,  $M_{yp}$  teži svojoj graničnoj vrijednosti  $M_{ygr}$ , pa je

$$M_{ygr} = 2\sigma_T S_y = \sigma_T W_{yp}, \quad (13)$$

gdje je  $S_y$  statički moment polovice presjeka oko osi  $y$ , a  $W_{yp}$  plastični moment otpora presjeka, jer je

$$W_{yp} = 2S_y. \quad (14)$$

Povećanje nosivosti u plastičnom stanju prema nosivosti u elastičnom stanju iznosi

$$k_f = \frac{M_{ygr}}{M_{yT}} = \frac{W_y}{W_{yp}}. \quad (15)$$

Za pravokutan presjek (sl. 8) vrijedi

$$S_y = b \frac{1}{2} (h - h_e) \frac{1}{4} (h + h_e) = \frac{bh^2}{8} \left[ 1 - \left( \frac{h_e}{h} \right)^2 \right]. \quad (16)$$

Budući da je  $W_{ye} = bh_e^2/6$ , bit će prema (12):

$$M_{yp} = \sigma_T \frac{bh^2}{4} \left[ 1 - \frac{1}{3} \left( \frac{h_e}{h} \right)^2 \right]. \quad (17)$$

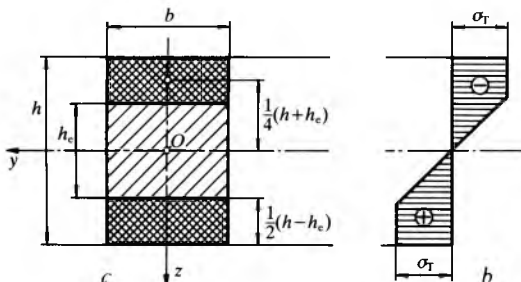
Kako je statički moment  $S_y$  jedne polovice presjeka  $bh^2/8$ , bit će

$$W_{yp} = 2S_y = \frac{bh^2}{4}, \quad (18)$$

pa je

$$M_{ygr} = \sigma_T \frac{bh^2}{4}. \quad (19)$$

Kad se (19) uvrsti u (17), dobiva se



Sl. 8. Određivanje plastičnog momenta otpora  $W_{yp}$  za pravokutni presjek. a presjek štapa, b dijagram naprezanja

$$M_{yp} = M_{ygr} \left[ 1 - \frac{1}{3} \left( \frac{h_e}{h} \right)^2 \right] = \frac{3}{2} M_{yT} \left[ 1 - \frac{1}{3} \left( \frac{h_e}{h} \right)^2 \right]. \quad (20)$$

Faktor povećanja nosivosti pravokutnog presjeka pri savijanju  $k_f$  iznosi 1,5, tj. nosivost je toga presjeka u plastičnom stanju 50% veća od nosivosti u elastičnom stanju. U tabl. 2 navedeni su momenti otpora i plastični momenti otpora, te faktori povećanja nosivosti u plastičnom stanju pri savijanju za različite oblike poprečnog presjeka štapa.

**Sirenje plastičnog područja.** Razmatra se sirenje plastičnog područja u gredi pravokutnog presjeka na dva oslonca koja je jednoliko kontinuirano opterećena. Greda s pripadnim dijagramom prikazana je na sl. 9. Kako se maksimalni moment  $M_{ymax} = ql^2/8$  pojavljuje u sredini raspona, prve se plastične deformacije na sredini raspona pojavljuju u točkama A i B. Moment je savijanja u sredini grede  $M_{yT} = \sigma_T W_y = ql^2/8$ , pa je

$$q_T = \frac{8\sigma_T W_y}{l^2} = \frac{4bh^2\sigma_T}{3l^2}. \quad (21)$$

Kako se povećava opterećenje, tako se širi plastično područje i u trenutku kad čitav presjek bude u plastičnom stanju, moment će savijanja u sredini raspona iznositi

$$M_y = M_{ygr} = q_{gr} \frac{l^2}{8}. \quad (22)$$

Kako je  $M_{ygr} = \sigma_T W_{yp}$ , to je

$$q_{gr} = \frac{8\sigma_T W_{yp}}{l^2} = \frac{2bh^2\sigma_T}{l^2}. \quad (23)$$

Ovisnost momenta savijanja o koordinati  $x$  određena je izrazom

$$M_{yp} = \frac{ql^2}{8} \left[ 1 - 4 \left( \frac{x}{l} \right)^2 \right]. \quad (24)$$

Ako se (24) podijeli sa (22), dobiva se

$$\frac{M_{yp}}{M_{ygr}} = \frac{q}{q_{gr}} \left[ 1 - 4 \left( \frac{x}{l} \right)^2 \right], \quad (25)$$

pa je nakon izjednačenja sa (20):

$$\frac{q}{q_{gr}} \left[ 1 - 4 \left( \frac{x}{l} \right)^2 \right] = 1 - \frac{1}{3} \left( \frac{2z_e}{h} \right), \quad (26)$$

gdje je  $2z_e = h_e$ .

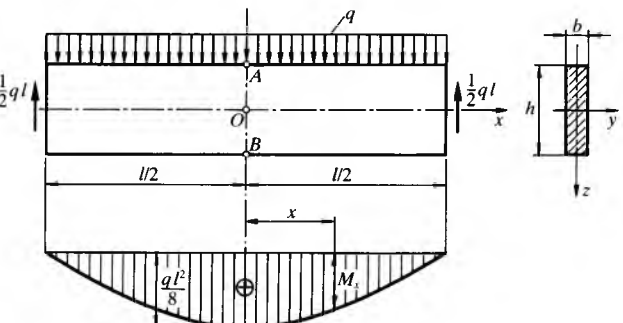
Taj se izraz može preureediti u oblik:

$$\frac{q}{q_{gr}} \left( \frac{x}{l} \right)^2 - \frac{1}{3} \left( \frac{z_e}{h} \right)^2 = \frac{1}{4} \left( \frac{q}{q_{gr}} - 1 \right). \quad (27)$$

To je familija hiperbolu u koordinatnom sustavu  $x, z_e$  koje ovise o parametru  $q/q_{gr}$  a imaju smisla za  $2/3 \leq q/q_{gr} \leq 1$ . Kad je  $q/q_{gr} = 1$ , hiperbola prelazi u dva pravca:

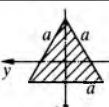
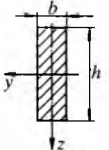
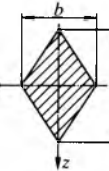
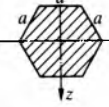
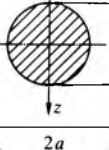
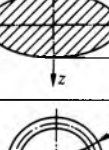
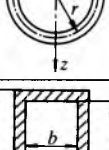
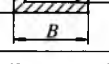
$$z_e = \pm \sqrt{3} \frac{h}{l} x, \quad (28)$$

koji su asimptote te parabole. Asimptote sijeku gornji i donji rub grede na udaljenosti  $l_1 = l/(2\sqrt{3}) = 0,2887l$  (sl. 10).



Sl. 9. Dijagram momenta savijanja jednolikom kontinuirano opterećene grede na dva oslonca

Tabelica 2  
AKSIJALNI PLASTIČNI MOMENTI OTPORA I FAKTORI POVEĆANJA NOSIVOSTI U PLASTIČNOM STANJU

Presjek	$W_{yp}$	$W_y$	$k_{fy}$	$W_{zp}$	$W_z$	$k_{fz}$
	$\frac{a^3}{8}(2 - \sqrt{2}) =$ $= 0,073223 a^3$	$\frac{a^3}{32} =$ $= 0,03125 a^3$	$4(2 - \sqrt{2}) =$ $= 2,34315$	$\frac{a^3\sqrt{3}}{24} =$ $= 0,0721688 a^3$	$\frac{a^3\sqrt{3}}{48} =$ $= 0,036084 a^3$	2,0
	$\frac{bh^2}{4}$	$\frac{bh^2}{6}$	1,5	$\frac{hb^2}{4}$	$\frac{hb^2}{6}$	1,5
	$\frac{bh^2}{12}$	$\frac{bh^2}{24}$	2	$\frac{hb^2}{12}$	$\frac{hb^2}{24}$	2
	$a^3$	$\frac{5}{8}a^3 =$ $= 0,625 a^3$	1,6	$\frac{7\sqrt{3}}{12}a^3 =$ $= 1,01036 a^3$	$\frac{5\sqrt{3}}{16}a^3 =$ $= 0,5413 a^3$	1,867
	$\frac{d^3}{6}$	$\frac{\pi d^3}{32}$	1,7	$\frac{d^3}{6}$	$\frac{\pi d^3}{32}$	1,7
	$\frac{4}{3}ab^2$	$\frac{\pi}{4}ab^2$	1,7	$\frac{4}{3}a^2b$	$\frac{\pi}{4}a^2b$	1,7
	$2r^2t$	$\pi r^2t$	1,571	$2r^2t$	$\pi r^2t$	1,571
	$\frac{BH^2 - bh^2}{4}$	$\frac{BH^2 - bh^2}{6}$	1,5	$\frac{HB^2 - hb^2}{4}$	$\frac{HB^2 - hb^2}{6}$	1,5

Na sl. 11 prikazano je plastično područje u trenutku potpune plastifikacije presjeka za nekoliko nosača opterećenih koncentričnim silama ili kontinuiranim opterećenjem. Potpuno plastificirani presjek, kad je materijal idealno plastičan, opire se savijanju momentom  $M_{y,gr}$ , tj. ponaša se kao zglob, pa se i naziva plastičnim zgloboom.

**Štapovi s jednostruko simetričnim presjekom.** Razmatra se savijanje štapa kojega presjek ima jednu os simetrije ( $z$  na sl. 12) i koji se savija oko osi okomite na os simetrije (os  $y$ ).

Analiza naprezanja štapa pri djelomičnoj plastifikaciji poprečnog presjeka složenja je od analize štapova s presjekom s dvije osi simetrije. Tada neutralna os ne prolazi težištem poprečnog presjeka i njezin položaj tek treba odrediti. Položaj neutralne osi određuje se (v. *Nauka o čvrstoći*, TE 9, str. 301) iz uvjeta

$$N = \int_A \sigma_x dA = 0. \quad (29)$$

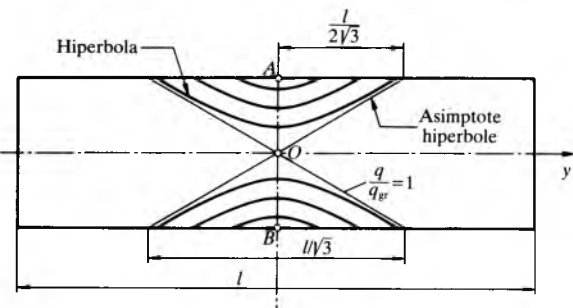
U trenutku potpune plastifikacije presjeka i stvaranja plastičnog zgloba, neutralna linija dijeli poprečni presjek u dva dijela koja imaju jednaku površinu, pa je  $A_1 = A_2 = A/2$ , gdje je  $A$  ukupna površina poprečnog presjeka. Na jednom je

dijelu naprezanje jednako vlačnoj granici tečenja  $\sigma_T$ , a na drugom  $- \sigma_T$ , pa je ukupna sila u poprečnom presjeku

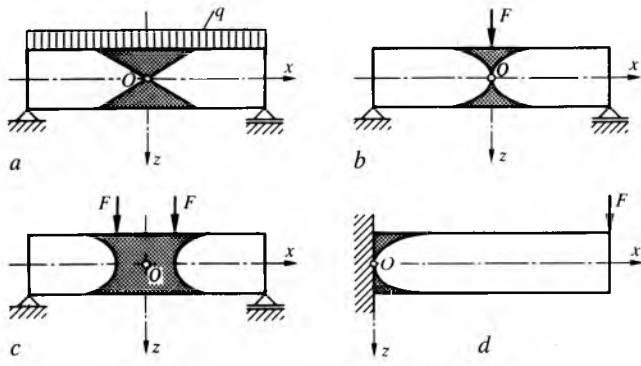
$$N = \sigma_T A_1 - \sigma_T A_2 = 0, \quad (30)$$

što potvrđuje da je  $A_1 = A_2$ .

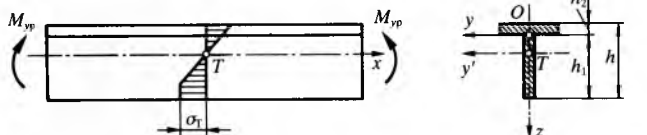
Dok je  $M_y \leq M_{y,T}$ , neutralna linija prolazi težištem poprečnog presjeka. Kad je  $M_{y,T} < M_{y,p} < M_{y,gr}$ , neutralna se linija



Sl. 10. Širenje plastičnih područja grede sa sl. 9



Sl. 11. Plastični zglob: a) na kontinuirano opterećenoj gredi, b) na gredi opterećenoj koncentriranom silom, c) na gredi opterećenoj dvjema silama, d) na konzoli opterećenoj silom na kraju

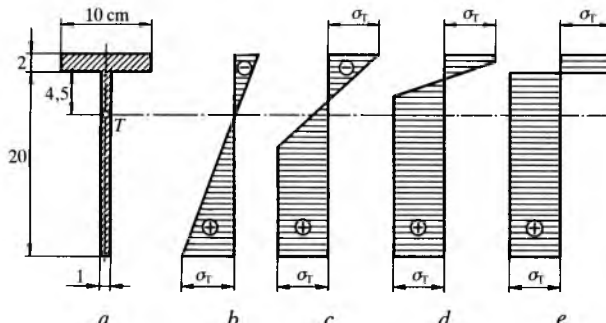


Sl. 12. Plastično savijanje štapa kojemu je presjek s jednom osi simetrije nalazi između dva krajnja položaja. Kad je  $M_{y_p} = M_{y_{gr}}$ , neutralna linija dijeli presjek u dva jednakata dijela (sl. 13).

Kad presjek postane potpuno plastificiran, za raspodjelu naprezanja vrijede izrazi:

$$\sigma_x = \sigma_T, \quad -h_1 \leq z < 0 \quad (\text{na površini } A_1), \quad (31\text{a})$$

$$\sigma_x = -\sigma_T, \quad 0 < z \leq -h_2 \quad (\text{na površini } A_2). \quad (31\text{b})$$



Sl. 13. Pomicanje neutralne linije i raspodjela naprezanja pri savijanju štapa kojemu je presjek s jednom osi simetrije. a) presjek štapa, b) raspodjela naprezanja za  $M_y = M_{y_T}$ , c) i d za  $M_y < M_y < M_{y_{gr}}$ , e) za  $M_y = M_{y_{gr}}$

Tada je granični moment savijanja

$$M_{y_{gr}} = \int \sigma_x z dA = \sigma_T \int z dA - \sigma_T \int z dA, \quad (32)$$

odnosno

$$M_{y_{gr}} = \sigma_T (S_1 + S_2) = \sigma_T W_{y_p}, \quad (33)$$

gdje su  $S_1$  i  $S_2$  absolutne vrijednosti statičkih momenata površina  $A_1$  i  $A_2$  oko osi  $y$  koja dijeli presjek u dva jednakata dijela. Plastični je moment otpora presjeka

$$W_{y_p} = S_1 + S_2. \quad (34)$$

### Uvijanje

**Uvijanje okruglih štapova.** Za uvijanje vrijede iste pretpostavke o deformirajući kao i u naući o čvrstoći (v. Nauka o čvrstoći, TE 9, str. 298), pa je

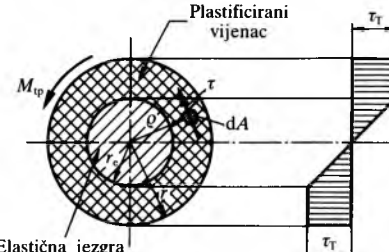
$$\gamma = \varrho \vartheta = \gamma_{\max} \frac{\varrho}{r}, \quad (35)$$

gdje je  $\gamma$  kutna deformacija,  $\varrho$  promatrani promjer,  $\vartheta$  relativni kut uvijanja, a  $r$  vanjski promjer. To znači da su deformacije u plastičnom kao i u elastičnom području linearno raspodijeljene (sl. 14). Prve se plastične deformacije pojavljuju kad

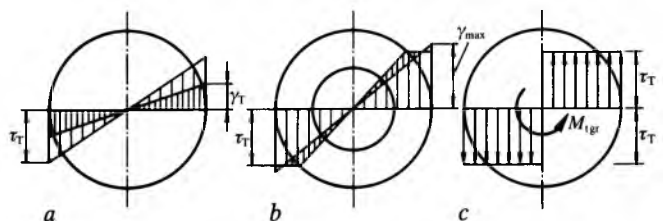
moment uvijanja  $M_{tT}$  bude:

$$M_{tT} = \tau_T W_p, \quad (36)$$

gdje je  $\tau_T$  granica tečenja pri smicanju, a  $W_p$  plastični moment otpora (sl. 15).



Sl. 14. Uz izvod izraza za moment uvijanja osovine u elastoplastičnom stanju



Sl. 15. Raspodjela kutnih deformacija  $\gamma$  i posmičnog naprezanja  $\tau_T$  po presjeku kružnog štapa: a) za  $M_t = M_{tT}$ , b) za  $M_{tT} < M_t < M_{tgr}$ , c) za  $M_t = M_{tgr}$

Kad se moment uvijanja poveća iznad  $M_{tT}$ , po rubu presjeka nastaju plastične deformacije koje se u obliku koncentričnog vijenca šire prema središtu presjeka. U plastičnom su vijencu posmična naprezanja  $\tau_T$ , a u elastičnoj jezgri rastu linearno od nule do  $\tau_T$ :

$$\tau = \frac{\tau_T}{r_e} \varrho \quad 0 \leq \varrho \leq r_e, \quad (37\text{a})$$

$$\tau = \tau_T \quad r_e \leq \varrho \leq r, \quad (37\text{b})$$

gdje je  $r_e$  polujer elastične jezgre. Vrijednost je momenta uvijanja u elastoplastičnom stanju:

$$M_{tp} = \int \tau \varrho dA = \frac{\tau_T}{r_e} \int_{A_e} \varrho^2 dA + \tau_T \int_{A_p} \varrho dA, \quad (38)$$

gdje je  $A$  ukupna površina,  $A_e$  površina elastične jezgre, a  $A_p$  površina plastičnog vijenca.

Prvi integral na desnoj strani izraza (38) jednak je polarnome momentu tromosti elastične jezgre  $I_{pe}$ . Ako je  $dA = 2\pi\varrho d\varrho$ , izraz (38) prelazi u oblik:

$$M_{tp} = \tau_T \left( \frac{I_{pe}}{r_e} + 2\pi \tau_T \int_{r_e}^r \varrho^2 d\varrho \right), \quad (39)$$

odnosno

$$M_{tp} = \tau_T \left[ W_{pe} + \frac{2}{3}\pi(r^3 - r_e^3) \right], \quad (40)$$

gdje je  $W_{pe} = I_{pe}/r_e$  polarni moment otpora elastične jezgre.

Kako je  $W_{pe} = \pi d_e^3/16 = \pi r_e^3/2$ , izraz (40) prelazi u oblik:

$$M_{tp} = \frac{r^3 \pi}{6} \left[ 4 - \left( \frac{r_e}{r} \right)^3 \right] = \frac{1}{3} M_{tT} \left[ 4 - \left( \frac{r_e}{r} \right)^3 \right]. \quad (41)$$

Kad  $r_e$  teži nuli,  $M_{tp}$  teži graničnoj vrijednosti  $M_{tgr}$ , pa je

$$M_{tgr} = \tau_T \frac{2}{3} r^3 \pi = \frac{\pi d^3}{12} \tau_T = \tau_T W_{pp}, \quad (42)$$

gdje je

$$W_{pp} = \frac{\pi d^3}{12} \quad (43)$$

plastični polarni moment otpora. Povećanje nosivosti kružnog presjeka u plastičnom stanju (tabl. 3) prema elastičnom stanju iznosi

$$k_t = \frac{M_{tgr}}{M_{tT}} = \frac{W_{pp}}{W_p} = \frac{4}{3} = 1,33. \quad (44)$$

Tabelica 3  
POLARNI PLASTIČNI MOMENTI OTPORA I OMJERI POVEĆANJA NOSIVOSTI U PLASTIČNOM STANJU

Presjek	$W_{pp}$	$W_p$ ili $W_t$	$k_t = W_{pp}/W_p$
	$\frac{a^3}{12}$	$\frac{a^3}{20}$	$1,667 = 5/3$
	$\frac{a^3}{3}$	$\frac{5a^3}{24}$	1,6
	$\frac{ab^2}{2} \left(1 - 0,333 \frac{b}{a}\right)$	$\frac{1}{3} \cdot \frac{ab^2}{1 + 0,6b/a}$	$\frac{3}{2} \left(1 - 0,333 \frac{b}{a}\right) \left(1 + 0,6 \frac{b}{a}\right)$
	$\frac{3}{2} a^3$	$0,982 a^3$	1,527
	$\frac{\pi d^3}{12}$	$\frac{\pi d^3}{16}$	$\frac{4}{3} = 1,333$
	$\frac{2}{3} \pi R^3 \left[1 - \left(\frac{r}{R}\right)^3\right]$	$\frac{\pi}{2} R^3 \left[1 - \left(\frac{r}{R}\right)^4\right]$	$\frac{4}{3} \cdot \frac{1 - \left(\frac{r}{R}\right)^3}{1 - \left(\frac{r}{R}\right)^4}$
	$\frac{2}{3} \pi \left(a^3 \frac{9}{2} ab^2 + 4b^3\right)$	$\frac{\pi}{2} (a+b)(a-b)^2$	$\frac{4}{3} \cdot \frac{1 - \frac{a}{2} \left(\frac{b}{a}\right)^2 + 4 \left(\frac{b}{a}\right)^3}{\left(1 + \frac{b}{a}\right) \left(1 - \frac{b}{a}\right)^2}$
	$2\pi r^2 t$	$\sim 2\pi r^2 t$	$\sim 1$

To znači da kružni presjek u plastičnom stanju može preuzeti moment koji je 33% veći od maksimalnog momenta u elastičnom stanju.

**Uvijanje štapova neokrugla presjeka.** Analiza štapova neokrugla presjeka mnogo je složenija od analize štapova okrugla, tj. kružnog presjeka. Zato se navode samo osnovni pojmovi i rezultati. Pomoću funkcije naprezanja  $F = F(y, z)$  određuju se komponente naprezanja:

$$\tau_{xy} = \frac{\partial F}{\partial z}, \quad \tau_{xz} = -\frac{\partial F}{\partial y}. \quad (45)$$

U plastičnom području komponente naprezanja zadovoljavaju jednadžbu

$$\tau_{xy}^2 + \tau_{xz}^2 = \left(\frac{\partial F}{\partial z}\right)^2 + \left(\frac{\partial F}{\partial y}\right)^2 = \tau_T^2. \quad (46)$$

Rubni uvjet glasi da je  $dF = 0$  uzduž ruba presjeka. Površina je plastičnog naprezanja površina jednaka nagiba:

$$\varphi = \arctan \tau_T. \quad (47)$$

U trenutku potpune plastifikacije poprečnog presjeka površina dobiva oblik krova ili šatora (sl. 16). Takve se površine mogu odrediti eksperimentalno tako da se na poprečni presjek koji leži vodoravno nasipa materijal kojemu je kut unutrašnjeg trenja jednak  $\varphi$  (47).

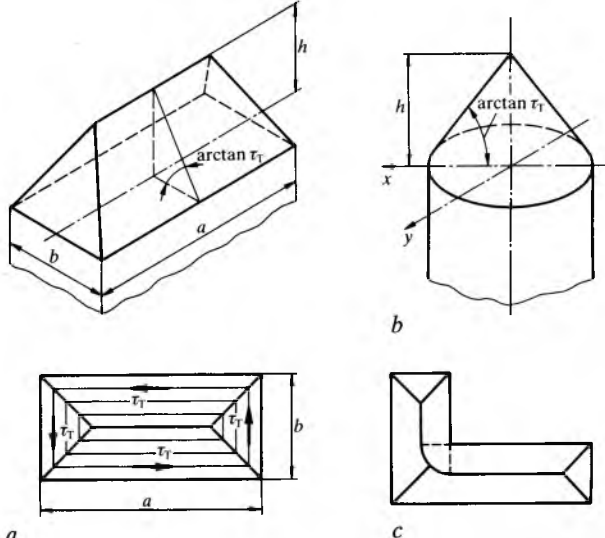
Granični moment uvijanja jednak je dvostrukom obujmu  $V_0$  što ga zatvaraju površina  $F(y, z)$  iz relacije (45) i ravnina poprečnog presjeka, pa je

$$M_{tgr} \hat{=} 2V_0. \quad (48)$$

Za kružni je presjek  $h = r \tau_T$ , pa je

$$M_{tgr} = \frac{2}{3} \pi r^3 \tau_T. \quad (49)$$

Slično je za pravokutni presjek:



Sl. 16. Površina plastičnog naprezanja  $F(y, z)$ . a) pravokutni presjek, b) kružni presjek, c) L-presjek

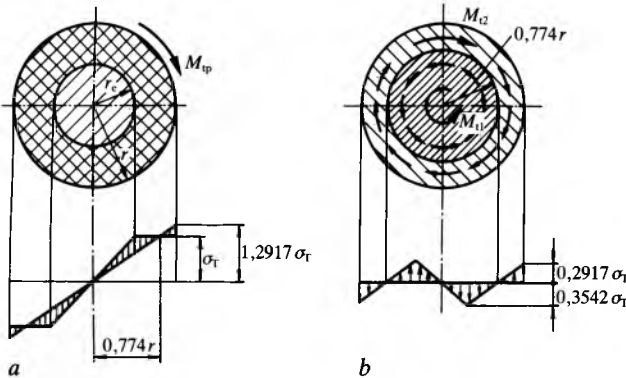
$$V_0 = b^2 \frac{h}{3} + (a-b)b \frac{h}{2}, \quad (50)$$

pa kako je  $\tau_T = 2h/b$ , slijedi

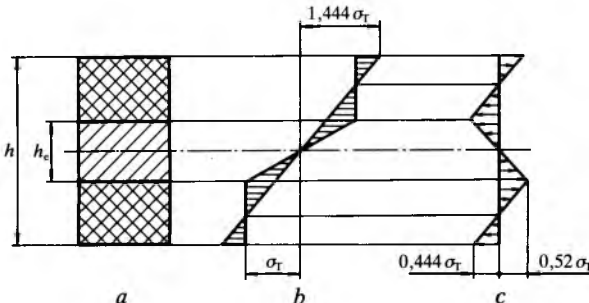
$$M_{tgr} = \frac{bh}{6} (3a-b) \tau_T. \quad (51)$$

**Zaostala naprezanja.** Kad se poprečni presjek štapa djelomično plastificira, pa zatim rastereti, onda se dio štapa koji je ostao u elastičnom stanju nastoji vratiti u prvobitni oblik, dok dio koji je u plastičnom stanju nastoji zadržati deformirani oblik. Zbog toga nastaju samouravnotežena

naprezanja koja nisu posljedica vanjskog opterećenja. Kako je rasterećenje nakon plastičnog deformiranja uvijek linearno, zaostala se naprezanja mogu odrediti superpozicijom dijagrama naprezanja koje bi nastalo kad bi se elastični štap opteretio momentom (ili silom) suprotna smjera, a iznosa jednaka iznosu momenta (sile) koji je prouzrokovao plastičnu deformaciju.



Sl. 17. Zaostala naprezanja nakon plastičnog uvijanja okruglog štapa sa  $r_e = r/2$ . a presjek štapa te superponirani dijagrami raspodjele naprezanja i linearog elastičnog porasta, b dijagram raspodjele zaostalih naprezanja



Sl. 18. Zaostala naprezanja nakon plastičnog savijanja štapa pravokutnog presjeka sa  $h_e = h/3$ . a presjek štapa, b dijagram naprezanja, c rezultirajući dijagram zaostalih naprezanja

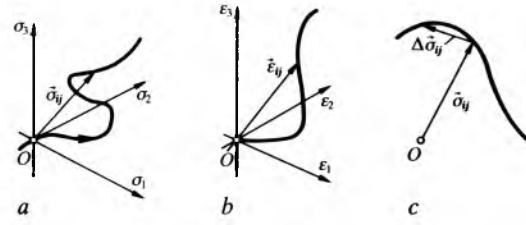
Kružni je štap (sl. 17) opterećen momentom uvijanja  $M_{tp}$  tako da mu je polumjer elastične jezgre jednak polovici polumjera cijelog presjeka. Na slici je i pripadni dijagram raspodjele naprezanja u elastoplastičnom stanju (sl. 17a) i dijagram raspodjele zaostalih naprezanja (sl. 17b). Prema (41), uz  $r_e = r/2$ , vrijedi  $M_{tp} = 1,2917 M_{T\Gamma} = 1,2917 W_y \sigma_T$ , tj. maksimalno naprezanje elastičnog rasterećenja iznosi  $1,2917 \sigma_T$ . Pravokutni je poprečni presjek (sl. 18) djelomično plastificiran tako da mu je visina elastične jezgre  $h_e = h/3$ . Prema (17) vrijedi da je  $M_{tp} = 1,444 W_y \sigma_T$ , pa je maksimalno naprezanje elastičnog rasterećenja  $1,444 \sigma_T$ .

### MEĐUSOBNA OVISNOST NAPREZANJA I DEFORMACIJE

**Osnovne jednadžbe za prostorno stanje naprezanja.** Promjene naprezanja  $\sigma_{ij}$  u nekoj točki tijela nazivaju se *procesom opterećenja* u toj točki, a promjene deformacija  $\varepsilon_{ij}$  procesom deformiranja. Prijelazom na šesterodimenzionalni prostor, u kojem su koordinate komponente tenzora naprezanja, može se tenzor naprezanja prikazati kao vektor naprezanja  $\vec{\sigma}_{ij}$ , a tenzor deformacija kao vektor deformacija  $\vec{\varepsilon}_{ij}$ . Taj se prostor naziva faznim prostorom (sl. 19). Ako se razmatranje ograniči na trodimenzionalni fazni prostor  $\sigma_1, \sigma_2, \sigma_3$ , odnosno  $\varepsilon_1, \varepsilon_2, \varepsilon_3$ , može se u njemu prikazati proces opterećenja, odnosno proces deformiranja. Vrh vektora  $\vec{\sigma}_{ij}$  opisuje trajektoriju opterećenja, a vrh vektora  $\vec{\varepsilon}_{ij}$  trajektoriju deformacije.

Poopćenjem granice tečenja na troosno stanje naprezanja dolazi se do pojma površine tečenja, odnosno krivulje tečenja kad se radi o ravnniskom naprezanju. Površina tečenja u faznom prostoru dijeli prostor elastičnih od prostora plastičnih deformacija. Kad se trajektorija opterećenja potpuno nalazi unutar površine tečenja, deformacije su elastične. Da bi

nastale plastične deformacije mora se kraj trajektorije naprezanja nalaziti na površini tečenja. Kad se radi o idealno plastičnim materijalima, površina je tečenja nepomična. Ako je materijal očvrstiv deformiranjem, mijenjaju se oblik i veličina površine tečenja, a površina se može i pomoci u faznom prostoru.



Kad se radi o idealno plastičnom materijalu, površina tečenja pri izotermnom deformirajušu ima oblik:

$$f = f(\sigma_{ij}, \varkappa_i) = 0, \quad (52)$$

gdje su  $\varkappa_i$  konstante materijala. Za opisivanje ponašanja mnogih izotropnih idealno plastičnih materijala dovoljna je samo jedna takva konstanta. Gotovo se redovito promatra granica tečenja pri rastezanju. Tada za površinu tečenja vrijedi jednadžba

$$f(\sigma_{ij}, \sigma_T) = 0. \quad (53)$$

Analitički izraz za površinu tečenja materijala očvrstivih deformiranjem glasi

$$f = f(\sigma_{ij}, \varepsilon_{ij}^p, \varkappa_i^p) = 0, \quad (54)$$

gdje je  $\varepsilon_{ij}^p$  tenzor plastične deformacije, a  $\varkappa_i^p$  svojstva materijala koja ovise o veličini i tijeku promjene plastične deformacije  $\varepsilon_{ij}^p$ . Izraz koji analitički prikazuje površinu tečenja naziva se *kriterijem tečenja*, odnosno uvjetom tečenja.

Kraj vektora naprezanja  $\vec{\sigma}_{ij}$  nalazi se uvijek unutar površine tečenja ili na njoj samoj. To vrijedi i za očvrstive materijale. Neka se vrh naprezanja nalazi na površini tečenja, koja se sada naziva površinom početka tečenja, pa ako komponente naprezanja porastu tako da  $d\vec{\sigma}_{ij}$  gleda prema van, onda će se promjeniti i veličina površine tečenja, te će se kraj vektora  $\vec{\sigma}_{ij} + d\vec{\sigma}_{ij}$  opet nalaziti na površini tečenja. Prema tome uvijek vrijedi:

$$df = \frac{\partial f}{\partial \sigma_{ij}} d\sigma_{ij} + \frac{\partial f}{\partial \varepsilon_{ij}^p} d\varepsilon_{ij}^p + \frac{\partial f}{\partial \varkappa_i^p} d\varkappa_i^p = 0. \quad (55)$$

Kad je  $f < 0$ , okoliš je točke koja se promatra u elastičnom stanju. Kad je  $f = 0$ , ispunjen je neophodan uvjet za pojavu plastičnih deformacija. Uvjet  $f > 0$  nema smisla, jer vrh vektora  $\vec{\sigma}_{ij}$  ne može napustiti površinu tečenja.

*Aktivno opterećenje* uzrokuje promjenu naprezanja uz pojavu plastičnih deformacija. *Pasivno opterećenje* (rasterećenje) uzrokuje promjenu naprezanja kad se ne pojavljuju plastične deformacije. Neutralno opterećenje granični je slučaj između aktivnog i pasivnog opterećenja.

Neka se vrh vektora  $\vec{\sigma}_{ij}$  nalazi na površini tečenja. Ako djeluje pasivno opterećenje, vrh vektora  $\vec{\sigma}_{ij}$  prelazi u unutrašnjost površine tečenja. Uz takvu promjenu naprezanja mora biti  $df < 0$ . Kako je  $d\varepsilon_{ij}^p = 0$  i  $d\varkappa_i^p = 0$ , mora biti

$$\frac{\partial f}{\partial \sigma_{ij}} d\sigma_{ij} < 0. \quad (56)$$

Prema tome, ako je  $f = 0$ , tada je:

$$\frac{\partial f}{\partial \sigma_{ij}} d\sigma_{ij} < 0 \quad \text{za pasivno opterećenje}, \quad (57a)$$

$$\frac{\partial f}{\partial \sigma_{ij}} d\sigma_{ij} = 0 \quad \text{za neutralno opterećenje}, \quad (57b)$$

$$\frac{\partial f}{\partial \sigma_{ij}} d\sigma_{ij} > 0 \quad \text{za aktivno opterećenje.} \quad (57c)$$

Kad je opterećenje neutralno, vrh se vektora  $\vec{\sigma}_{ij}$  miče po površini tečenja koja ne mijenja oblik. Ako je materijal idealno plastičan, nastaju plastične deformacije, a ako je materijal očvrstiv deformiranjem, ne nastaju plastične deformacije.

**Druckerov postulat.** D. C. Drucker je (1951) formulirao postulat koji glasi: ako u tijelu vlada početno naprezanje  $\sigma_{ij}^0$  i na takvo tijelo izvana djeluje bilo kakvo opterećenje koje uzrokuje dopunsko naprezanje  $\sigma_{ij}^*$ , pa je ukupno naprezanje  $\sigma_{ij}$ , te ako se nakon uklanjanja vanjskog opterećenja tijelo vrati u početno stanje, onda vrijede sljedeće relacije:

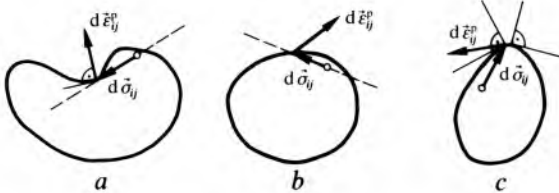
$$\sigma_{ij}^* = \sigma_{ij} - \sigma_{ij}^0, \quad (58a)$$

$$\oint_{\sigma} d\sigma_{ij} d\epsilon_{ij} \geq 0, \quad (58b)$$

$$d\sigma_{ij} d\epsilon_{ij}^p \geq 0, \quad (58c)$$

što znači da plastična deformacija može nastati samo ako se utroši rad. Znak jednakosti vrijedi samo za neutralno opterećenje.

Na temelju Druckerova postulata može se zaključiti sljedeće: a) površina tečenja uvijek je konveksna i b) vektor prirasta plastičnih deformacija  $d\tilde{\epsilon}_{ij}^p$  u regularnoj točki površine tečenja ima smjer vanjske normale. U singularnoj točki vektor  $d\tilde{\epsilon}_{ij}$  leži unutar stoča što ga određuju krajnje vanjske normale.



Sl. 20. Primjeri u kojima nije ispunjen Druckerov postulat: a) površina tečenja nije konveksna, b) prirast  $d\tilde{\epsilon}_{ij}^p$  nema smjer gradijenta na površinu, c) prirast  $d\tilde{\epsilon}_{ij}^p$  nije unutar stoča tangenata u singularnoj točki

Ako se ne ispuni jedan od ta dva uvjeta, može se dogoditi da bude  $d\epsilon_{ij}^p \cdot d\sigma_{ij} < 0$ , što proturječi Druckerovu postulatu. Tada bi, naime, bilo moguće odabratи takve vrijednosti za  $d\sigma_{ij}$  i  $d\tilde{\epsilon}_{ij}$  da bi kut među njima bio tup (sl. 20). Budući da vektor prirasta plastičnih deformacija ima smjer gradijenta na površinu tečenja, to je

$$d\epsilon_{ij}^p = \frac{\partial f}{\partial \sigma_{ij}} d\lambda, \quad f = 0, \quad \frac{\partial f}{\partial \sigma_{ij}} d\sigma_{ij} \geq 0, \quad (59)$$

gdje je  $d\lambda$  skalarni multiplikator.

**Lévy-Misesove jednadžbe.** Kad je  $f$  jednako drugoj invariјanti devijatora naprezanja  $s_{ij}$ , tj. kad je  $f = I_{2s}$ , onda je

$$\frac{\partial f}{\partial \sigma_{ij}} = s_{ij}, \quad (60)$$

pa je prema (59)

$$d\epsilon_{ij}^p = s_{ij} d\lambda. \quad (61)$$

Priprast komponenata plastične deformacije razmijeran je komponentama devijatora naprezanja. Ako se zanemare elastične deformacije u usporedbi s plastičnim, tada je

$$d\epsilon_{ij} = s_{ij} d\lambda. \quad (62)$$

To su Lévy-Misesove jednadžbe koje vrijede za kruto-idealno plastični materijal.

**Prandtl-Reussove jednadžbe.** Te jednadžbe uzimaju u obzir i elastične deformacije. Hookeov zakon za elastične deformacije u devijatorskom obliku glasi

$$e_{ij} = \frac{s_{ij}}{2G}, \quad \epsilon_{kk} = \frac{\sigma_{kk}}{3K}, \quad (63)$$

gdje su  $e_{ij}$  i  $s_{ij}$  devijatori deformacije, odnosno naprezanja:

$$e_{ij} = \epsilon_{ij} - \frac{1}{3} \epsilon_{kk} \delta_{ij} = \epsilon_{ij} - \epsilon_0 \delta_{ij}, \quad (64)$$

$$s_{ij} = \sigma_{ij} - \frac{1}{3} \sigma_{kk} \delta_{ij} = \sigma_{ij} - \sigma_0 \delta_{ij}, \quad (65)$$

a  $G$  je modul smicanja i  $K$  prostorni modul elastičnosti. Tada Prandtl-Reussove jednadžbe glase:

$$d\epsilon_{ij} = s_{ij} d\lambda + \frac{ds_{ij}}{2G}, \quad (66a)$$

$$d\epsilon_{kk} = \frac{d\sigma_{kk}}{3K}, \quad (66b)$$

$$s_{ij} s_{ij} = 2k^2. \quad (66c)$$

Iraz (66c) predstavlja von Misesov kriterij tečenja materijala. Na temelju gornjih jednadžbi može se izvesti

$$\frac{d\epsilon_1^p - d\epsilon_2^p}{\sigma_1 - \sigma_2} = \frac{d\epsilon_2^p - d\epsilon_3^p}{\sigma_2 - \sigma_3} = \frac{d\epsilon_3^p - d\epsilon_1^p}{\sigma_3 - \sigma_1} = d\lambda. \quad (67)$$

Parametar  $d\lambda$  može se odrediti eksperimentalno na temelju tog izraza. Pogodnije je odrediti  $d\lambda$  uvođenjem pojmove intenzivnosti naprezanja  $\bar{\sigma}$ , intenzivnosti deformacije  $\bar{\epsilon}$  i intenzivnosti prirasta plastične deformacije  $d\bar{\epsilon}^p$ . Oni su definirani izrazima:

$$\bar{\sigma} = \sqrt{\frac{1}{2} [(\sigma_1 - \sigma_2)^2 + (\sigma_2 - \sigma_3)^2 + (\sigma_3 - \sigma_1)^2]} = \sqrt{\frac{3}{2} s_{ij} s_{ij}}, \quad (68a)$$

$$\bar{\epsilon} = \sqrt{\frac{2}{9} [(\epsilon_1 - \epsilon_2)^2 + (\epsilon_2 - \epsilon_3)^2 + (\epsilon_3 - \epsilon_1)^2]} = \sqrt{\frac{3}{2} e_{ij} e_{ij}}, \quad (68b)$$

$$d\bar{\epsilon}^p = \sqrt{\frac{2}{3} d\epsilon_{ij}^p d\epsilon_{ij}^p}. \quad (68c)$$

Uvrštavanjem (68a) i (68c) u (61) dobiva se

$$d\lambda = \frac{3}{2} \cdot \frac{d\bar{\epsilon}^p}{d\bar{\sigma}}, \quad (69)$$

odnosno

$$d\epsilon_{ij}^p = \frac{3}{2} \cdot \frac{d\bar{\epsilon}^p}{d\bar{\sigma}} s_{ij}. \quad (70)$$

**Teorija potpune plastične deformacije.** Porast plastične deformacije u biti je inkrementalne prirode, kako to opisuje izraz (61). H. Hencky je pokušao (1924), slično kao u teoriji elastičnosti, uspostaviti ovisnost između potpunih (totalnih) plastičnih deformacija i naprezanja. Pretpostavio je da su komponente potpune plastične deformacije  $\epsilon_{ij}^p$  proporcionalne komponentama devijatora naprezanja prema izrazu

$$\epsilon_{ij}^p = \varphi s_{ij}, \quad (71)$$

gdje je  $\varphi$  faktor proporcionalnosti.

Ako se uzmu u obzir i elastične deformacije, Henckyjeve jednadžbe glase:

$$e_{ij} = \left( \varphi + \frac{1}{2G} \right) s_{ij}, \quad (72a)$$

$$\epsilon_{ii} = \frac{\sigma_{ii}}{3K} = \frac{1-2\nu}{E} \sigma_{ii}, \quad (72b)$$

$$\varphi = \frac{3}{2} \cdot \frac{\bar{\epsilon}^p}{\bar{\sigma}}. \quad (72c)$$

Izrazi (72) daju rezultate koji zadovoljavaju ako deformacije monotono rastu i ostaju u području malih deformacija.

### Kriteriji tečenja

Von Misesov i Trescin kriterij tečenja opisani su u člancima *Mehanika kontinuuma* (TE 8, str. 173) i *Nauka o*

čvrstoći (TE 9, str. 277) kao teorija najveće distorsionske energije HMH, odnosno kao teorija najvećega posmičnog naprezanja. Oni vrlo dobro opisuju ponašanje plastičnih metala i njihovih legura te mnogih drugih materijala. Spomenuti se kriteriji osnivaju na pretpostavci da srednje normalno naprezanje ne utječe na pojavu plastičnih deformacija, pa su površine tečenja cilindrične površine kojima je os paralelna s hidrostatickim pravcem  $\sigma_1 = \sigma_2 = \sigma_3$ . Za mnoge materijale, međutim, u prvom redu za tla i stijene, ta pretpostavka ne vrijedi. Zbog toga se navode neki od brojnih kriterija koji se primjenjuju u teoriji plastičnosti.

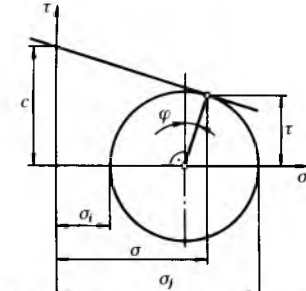
**Mohr-Coulombov kriterij.** Tečenje materijala nastaje kad posmično naprezanje  $\tau$  u bilo kojem presjeku dosegne kritičnu vrijednost koja je razmjerna normalnom tlačnom naprezanju povećanom za neku konstantu  $c$ . Ako je normalno naprezanje vlačno, onda ima negativan predznak:

$$\tau = c - \sigma \tan \varphi, \quad (73)$$

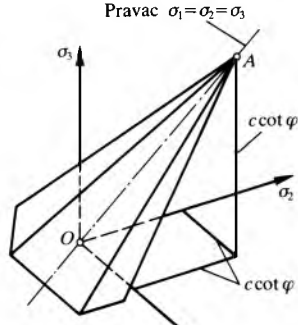
gdje je  $c$  smična čvrstoća kad nema normalnog naprezanja (kohezija),  $\sigma$  normalno naprezanje, a  $\varphi$  kut unutrašnjeg trenja. Taj je izraz prikazan Mohrovom kružnicom naprezanja (sl. 21), prema kojoj vrijedi:

$$\sigma = \frac{1}{2}(\sigma_i + \sigma_o) + \tau \tan \varphi, \quad (74a)$$

$$\tau = \frac{1}{2}(\sigma_j - \sigma_i) \cos \varphi. \quad (74b)$$



Sl. 21. Prikaz Mohr-Coulombova kriterija Mohrovom kružnicom naprezanja



Sl. 22. Površina tečenja prema Mohr-Coulombovu kriteriju

Izrazi (74) predstavljaju zapravo tri grupe po dvije jednadžbe jer indeksi  $i$  i  $j$  poprimaju vrijednosti 1 i 2, 2 i 3, odnosno 3 i 1. Ako se ti izrazi uvrste u (73), dobiva se nakon sređivanja:

$$\sigma_i(1 + \sin \varphi) - \sigma_i(1 - \sin \varphi) = 2c \cos \varphi, \quad (75)$$

odnosno

$$\sigma_1(1 + \sin \varphi) - \sigma_2(1 - \sin \varphi) = \pm 2c \cos \varphi, \quad (76a)$$

$$\sigma_2(1 + \sin \varphi) - \sigma_3(1 - \sin \varphi) = \pm 2c \cos \varphi, \quad (76b)$$

$$\sigma_3(1 + \sin \varphi) - \sigma_1(1 - \sin \varphi) = \pm 2c \cos \varphi. \quad (76c)$$

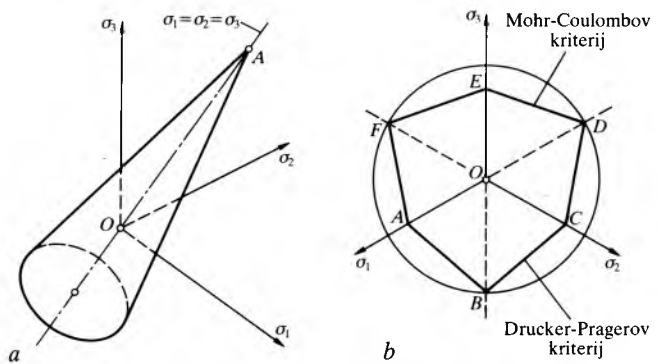
Tih šest jednadžbi predstavlja šest ravnina koje se sijeku tako da tvore nepravilnu uspravnu šesterostranu piramidu kojoj je os hidrostaticki pravac  $\sigma_1 = \sigma_2 = \sigma_3$ . Vrh piramide A (sl. 22) ima koordinate

$$\sigma_1^A = \sigma_2^A = \sigma_3^A = 2c \cot \varphi. \quad (77)$$

**Drucker-Pragerov kriterij.** D. C. Drucker i W. Prager predložili su (1952) kriterij koji je matematičko pojednostavljeno Mohr-Coulombova kriterija. Utjecaj je hidrostatickog naprezanja postignut uvodenjem prve invariante naprezanja  $I_{1\sigma}$  u von Misesov kriterij:

$$a I_{1\sigma} + (I_{2\sigma})^2 = b, \quad (78)$$

gdje su  $a$  i  $b$  određeni vrijednostima  $c$  i  $\varphi$  iz Mohr-Coulombova kriterija, a  $I_{2\sigma}$  je druga invarianta devijatora naprezanja.



Sl. 23. Drucker-Pragerov kriterij. a) površina tečenja, b) presjek devijatorskom ravninom

Prema Drucker-Pragerovu kriteriju površina je tečenja uspravan kružni stožac (sl. 23a) oko Mohr-Coulombove piramide. Ako stožac prolazi kroz tri vanjska brida piramide (sl. 23b), konstante  $a$  i  $b$  imaju vrijednosti:

$$a = \frac{2 \sin \varphi}{\sqrt{3}(3 - \sin \varphi)}, \quad b = \frac{6c \cos \varphi}{\sqrt{3}(3 - \sin \varphi)}. \quad (79)$$

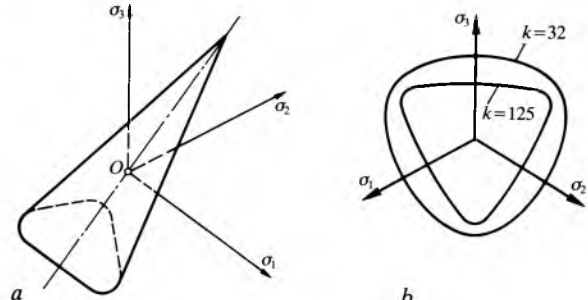
Kad plašt stoča prolazi unutrašnjim bridovima, tada je

$$a = \frac{2 \sin \varphi}{\sqrt{3}(3 + \sin \varphi)}, \quad b = \frac{6c \cos \varphi}{\sqrt{3}(3 + \sin \varphi)}. \quad (80)$$

**Lade-Duncanov kriterij.** P. V. Lade i J. M. Duncan predložili su (1975) kriterij u obliku

$$I_{1\sigma}^3 - k I_{3\sigma} = 0, \quad (81)$$

gdje su  $I_{1\sigma}$  i  $I_{3\sigma}$  prva i treća invarianta tenzora naprezanja. Taj je kriterij pogodan za tla bez kohezije. Konstanta  $k$  određuje se empirijski. Površina tečenja ima oblik oblog stoča (sl. 24a) kojemu je os hidrostaticki pravac. Presjek stoča ovisi o vrijednosti konstante  $k$  (sl. 24b).



Sl. 24. Lade-Duncanov kriterij. a) površina tečenja, b) presjek devijatorskom ravninom

**Bergov kriterij.** C. A. Berg je (1969) predložio kriterij koji uzima u obzir lom materijala pri vlačnim naprezanjima. Površina se tečenja sastoji od von Misesova kružnog valjka polumjera  $S$  koji vrijedi dok je srednje normalno naprezanje  $\sigma_0$  manje od neke vrijednosti  $P_1$  (sl. 25). Von Misesov je valjak u vlačnom (prvom) oktantu pokriven polovicom rotacijskog elipsoida. Poluosi su tog elipsoida  $S$  i  $P_0$ , tako da Bergov kriterij ima matematički oblik:

$$\sqrt{2I_{2\sigma}} = S; \quad -\infty \leq \sigma_0 \leq P_1 \quad (82a)$$

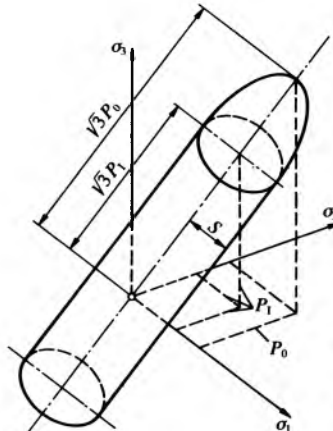
$$\sqrt{2I_{2\sigma} + H(\sigma_0 - P_1^2)} = S; \quad P_1 \leq \sigma_0 \leq P_0, \quad (82b)$$

gdje je

$$H = \left( \frac{S}{P_1 - P_0} \right)^2. \quad (83)$$

Konstante  $S$ ,  $P_1$  i  $P_0$  karakteristike su materijala i određuju se eksperimentalno.

**Kriterij Islinskoga.** Trescin kriterij koji se naziva još i Trescin-Saint-Venantov kriterij ne uzima u obzir utjecaj glavnog naprezanja koje nije ni najveće ni najmanje. To je



Sl. 25. Površina tečenja prema Bergovu kriteriju



Sl. 26. Presjek devijatorskom ravnom površinom tečenja prema kriteriju Išlinskoga

pokušao dopuniti A. Ju. Išlinski, koji je predložio (1940) kriterij u obliku:

$$\sigma_1 - \sigma_0 = +\frac{2}{3}\sigma_T, \quad (84a)$$

$$\sigma_2 - \sigma_0 = \pm\frac{2}{3}\sigma_T, \quad (84b)$$

$$\sigma_3 - \sigma_0 = \pm\frac{2}{3}\sigma_T. \quad (84c)$$

Taj kriterij ima površinu tečenja u obliku pravilne šesterostrane prizme kojoj je upisan von Misesov valjak (sl. 26).

#### NAPREZANJA U DEBELOSTJENIM POSUDAMA

**Debeli cijevi.** Na temelju rješenja u elastičnom području može se zaključiti da prve plastične deformacije u debeloj cijevi nastaju na unutrašnjoj stijenci i da se šire prema van. Neka je  $p_T$  unutrašnji tlak pri kojem nastaju prve plastične deformacije, a  $p_{gr}$  opterećenje pri kojem nastaje plastični slom. Ako je  $p_T < p < p_{gr}$ , unutrašnji je dio cijevi do polumjera  $r_T$  u plastičnom stanju, dok je vanjski dio cijevi, tj. za  $r_T \leq r \leq r_2$ , u elastičnom stanju. Prema teoriji elastičnosti naprezanja u elastičnom području  $\sigma^e$  jesu:

$$\sigma_r^e = 2k \left[ A - \frac{B}{r^2} \right], \quad (85a)$$

$$\sigma_\varphi^e = 2k \left( A + \frac{B}{r^2} \right), \quad (85b)$$

$$\sigma_z^e = \frac{1}{2}(\sigma_r + \sigma_\varphi), \quad (85c)$$

gdje su  $A$  i  $B$  konstante integracije, a  $k = \sigma_T/2$  za Trescina kriterij i  $k = \sigma_T/\sqrt{3}$  za von Misesov kriterij.

Za određivanje naprezanja u plastičnom području na raspolaganju su diferencijalna jednadžba ravnoteže u polarnim koordinatama, koja za osno simetrične probleme glasi:

$$\frac{d\sigma_r}{dr} + \frac{\sigma_r - \sigma_\varphi}{r} = 0, \quad (86)$$

te kriterij tečenja:

$$\sigma_\varphi - \sigma_r = 2k. \quad (87)$$

Iz ta dva izraza slijedi

$$\frac{d\sigma_r}{dr} = \frac{2k}{r}, \quad (88)$$

pa su naprezanja  $\sigma^p$  u plastičnom području:

$$\sigma_r^p = 2k \left( \ln \frac{r}{r_T} + C \right), \quad (89a)$$

$$\sigma_\varphi^p = 2k \left( \ln \frac{r}{r_T} + C + 1 \right), \quad (89b)$$

$$\sigma_z^p = 2k \left( \ln \frac{r}{r_T} + C + \frac{1}{2} \right). \quad (89c)$$

Tri se konstante integracije  $A$ ,  $B$  i  $C$  te nepoznati polumjer elasto-plastične granice  $r_T$  određuju na temelju dvaju rubnih uvjeta, te dvaju uvjeta kontinuiranosti naprezanja na elasto-plastičnoj granici:

$$\text{za } r = r_1: \sigma_r = -p, \quad (90a)$$

$$\text{za } r = r_2: \sigma_r = 0, \quad (90b)$$

$$\text{za } r = r_T: \sigma_r^e = \sigma_r^p \text{ i } \sigma_\varphi^e = \sigma_\varphi^p. \quad (90c)$$

Gornji indeksi  $e$  i  $p$  odnose se na elastično i na plastično rješenje. Kad se odrede konstante, konačno rješenje, uz uvjet da je  $r_1 \leq r \leq r_T$ , glasi:

$$\sigma_r = k \left( \frac{r_T}{r_2} \right)^2 \left[ 1 - \left( \frac{r_2}{r} \right)^2 \right], \quad (91a)$$

$$\sigma_\varphi = k \left( \frac{r_T}{r_2} \right)^2 \left[ 1 + \left( \frac{r_2}{r} \right)^2 \right], \quad (91b)$$

$$\sigma_z = k \left( \frac{r_T}{r_2} \right)^2, \quad (91c)$$

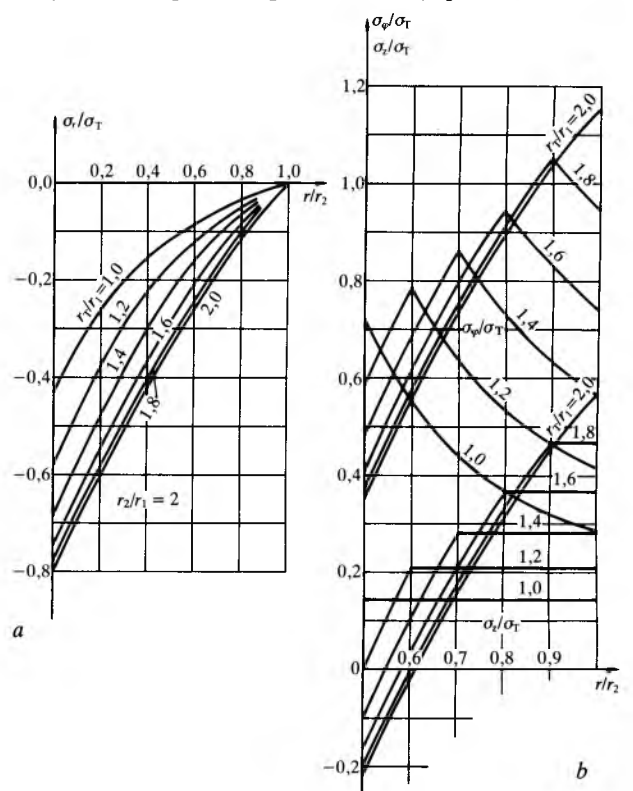
odnosno uz uvjet  $r_T \leq r \leq r_2$ :

$$\sigma_r = k \left[ 2 \ln \frac{r}{r_T} + \left( \frac{r_T}{r_2} \right)^2 - 1 \right], \quad (92a)$$

$$\sigma_\varphi = k \left[ 2 \ln \frac{r}{r_T} + \left( \frac{r_T}{r_2} \right)^2 + 1 \right], \quad (92b)$$

$$\sigma_z = k \left[ 2 \ln \frac{r}{r_T} + \left( \frac{r_T}{r_2} \right)^2 \right]. \quad (92c)$$

Polumjer se elasto-plastične granice određuje pomoću izraza:



Sl. 27. Dijagrami raspodjele naprezanja u debeloj cijevi (omjer vanjskog i unutarnjeg polumjera  $r_2/r_1 = 2$ ) za razne stupnjeve plastifikacije  $r_1/r_T$  i razne vrijednosti omjera  $r/r_2$ . a dijagram  $\sigma_r/\sigma_T$  i b dijagram  $\sigma_z/\sigma_T$  i  $\sigma_\varphi/\sigma_T$

$$p = k \left[ 2 \ln \frac{r_T}{r_1} - \left( \frac{r_T}{r_2} \right)^2 + 1 \right]. \quad (93)$$

Granično se opterećenje određuje iz uvjeta  $r_T = r_2$ , pa je

$$p_{gr} = 2k \ln \frac{r_2}{r_1}. \quad (94)$$

Dijagrami raspodjele naprezanja za  $r_2/r_1 = 2$  i za različite vrijednosti  $r_T/r_2$  prikazani su na sl. 27.

**Debla sferna ljudska.** Ako je naprezanje manje od  $p_T$ , tj. ako je

$$p < p_T = \frac{2}{3} \sigma_T \left[ 1 - \left( \frac{r_1}{r_2} \right)^3 \right], \quad (95)$$

ljudska je u elastičnom stanju, a naprezanja se određuju izrazima u sfernim koordinatama:

$$\sigma_r = p \frac{r_1^3}{r_2^3 - r_1^3} \left[ 1 - \left( \frac{r_1}{r} \right)^2 \right], \quad (96a)$$

$$\sigma_\theta = \sigma_\varphi = p \frac{r_1^3}{r_2^3 - r_1^3} \left[ 1 + \frac{1}{2} \left( \frac{r_2}{r} \right)^3 \right]. \quad (96b)$$

Kad je  $p_T < p < p_{gr}$ , ljudska je u elastoplastičnom stanju. Granica između oba stanja sferna je površina polumjera  $r_T$  koji se određuje pomoću izraza:

$$\frac{p}{2\sigma_T} = \ln \frac{r_T}{r_1} + \frac{1}{3} \left[ 1 - \left( \frac{r_T}{r_2} \right)^3 \right]. \quad (97)$$

Naprezanja su u plastičnom području, uz uvjet da je  $r_1 \leq r \leq r_T$ :

$$\sigma_r = 2\sigma_T \ln \frac{r}{r_1} - p, \quad (98a)$$

$$\sigma_\theta = \sigma_\varphi = \sigma_T \left[ 1 + 2 \ln \frac{r}{r_1} \right] - p, \quad (98b)$$

dok su naprezanja u plastičnom području za  $r_T \leq r \leq r_2$ :

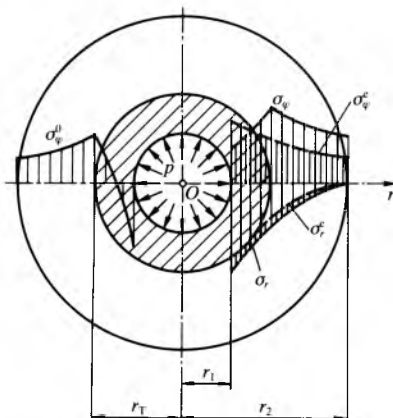
$$\sigma_r = -\frac{2}{3} \sigma_T \left( \frac{r_T}{r} \right)^3 \left[ 1 - \left( \frac{r}{r_2} \right)^3 \right], \quad (99a)$$

$$\sigma_\theta = \frac{1}{3} \sigma_T \left( \frac{r_T}{r} \right)^3 \left[ 1 + 2 \left( \frac{r}{r_2} \right)^3 \right]. \quad (99b)$$

Granično opterećenje (za  $r_T = r_2$ ) iznosi prema (97):

$$p_{gr} = 2\sigma_T \ln \frac{r_2}{r_1}. \quad (100)$$

Raspodjela rastezanja u debeloj sfernoj ljudsci u elastoplastičnom stanju prikazana je na sl. 28.



Sl. 28. Raspodjela naprezanja  $\sigma_r$  i  $\sigma_\theta$  u debeloj sfernoj ljudsci u elastoplastičnom stanju. U desnom dijelu slike crtkan je linijama raspodjela naprezanja  $\sigma_r$  i  $\sigma_\theta^0$  u elastičnom stanju, a u lijevom dijelu slike prikazano je zaostalo naprezanje  $\sigma_\theta^0$  nakon rasterećenja.

### PLASTIČNA ANALIZA RAVNINSKE DEFORMACIJE

**Stanje ravninske deformacije.** Ravninska deformacija u ravnini  $xy$  odredena je uvjetima:  $\epsilon_x = \gamma_{xz} = \gamma_{yz} = 0$  i  $\sigma_z \neq 0$ . U elastičnom je stanju

$$\epsilon_z = \frac{1}{E} [\sigma_z - v(\sigma_x + \sigma_y)] = 0, \quad (101)$$

tj.

$$\sigma_z = v(\sigma_x + \sigma_y). \quad (102)$$

Kako je u plastičnom području  $v \approx 1/2$ , to je

$$\sigma_z = \frac{\sigma_x + \sigma_y}{2} = \sigma_0, \quad (103)$$

gdje je  $\sigma_0$  srednje normalno naprezanje. Na temelju (102) slijedi

$$\sigma_x \geq \sigma_z \geq \sigma_y \text{ ili } \sigma_x \leq \sigma_z \leq \sigma_y. \quad (104)$$

Ekstremna normalna naprezanja  $\sigma_1$  i  $\sigma_3$  leže u ravnini  $xy$ , a određuju se pomoću izraza:

$$\sigma_{1,3} = \frac{\sigma_x + \sigma_y}{2} \pm \sqrt{\left( \frac{\sigma_x - \sigma_y}{2} \right)^2 + \tau_{xy}^2}, \quad (105)$$

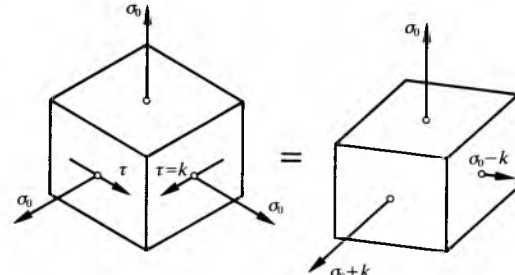
što se može pisati u obliku

$$\sigma_1 = \sigma_0 + k, \quad \sigma_2 = \sigma_0, \quad \sigma_3 = \sigma_0 - k, \quad (106)$$

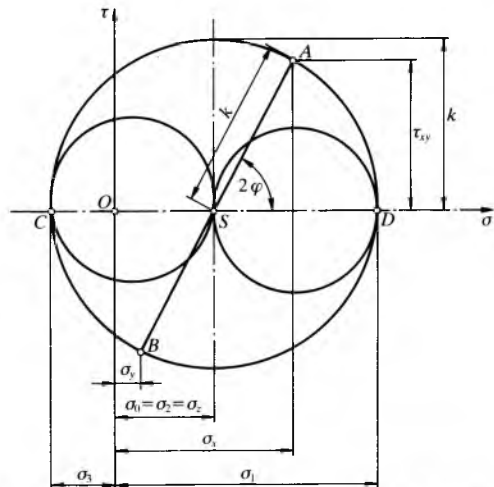
gdje je

$$k = \sqrt{\left( \frac{\sigma_x - \sigma_y}{2} \right)^2 + \tau_{xy}^2}. \quad (107)$$

U ravninskom stanju deformacije može se naprezanje rastaviti na zbroj vrijednosti hidrostatičkog naprezanja  $\sigma_0$  i čistog smicanja  $k$  (sl. 29).



Sl. 29. Naprezanje pri ravninskoj deformaciji u plastičnom stanju može se rastaviti na hidrostatičko naprezanje  $\sigma_0$  i čisto smicanje  $k$



Sl. 30. Mohrova kružnica naprezanja za ravninsku deformaciju

Mohrova kružnica naprezanja prikazana je na sl. 30. Očito vrijede izrazi

$$\sigma_x = \sigma_0 + k \cos 2\varphi, \quad (108a)$$

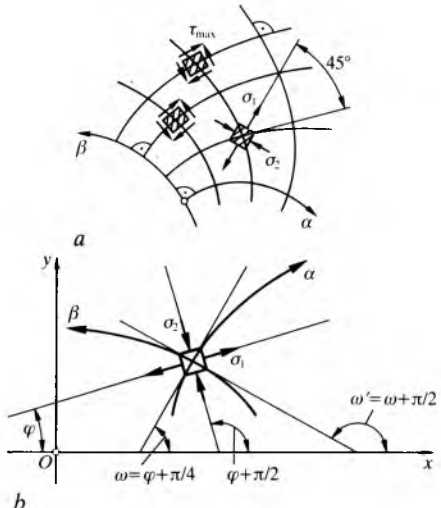
$$\sigma_y = \sigma_0 - k \cos 2\varphi, \quad (108b)$$

$$\tau_{xy} = k \sin 2\varphi. \quad (108c)$$

**Metoda linija klizanja.** Krivulja na kojoj je u svakoj točki maksimalno posmično naprezanje  $\tau_{max}$  tangencijalno naziva se linijom klizanja (sl. 31). U svakoj su točki dva međusobno okomita presjeka na koja djeluju maksimalna posmična naprezanja, pa postoje dvije međusobno ortogonalne familije linija klizanja koje se nazivaju linije  $\alpha$  i linije  $\beta$ . Linije klizanja sijeku trajektorije naprezanja pod kutom od  $45^\circ$  (sl. 31). Posmično naprezanje  $\tau_{max}$  zatvara s osi  $x$  kut  $\omega$ . Očito je

$$\omega = \varphi + \pi/4, \quad 2\varphi = 2\omega - \pi/2, \quad (109)$$

gdje je  $\varphi$  kut koji  $\sigma_1$  čini s osi  $x$ .



Sl. 31. Položaj linija klizanja i trajektorija naprezanja.  
a) linije klizanja dvije su međusobno ortogonalne familije krivulja,  
b) linije klizanja sijeku trajektorije naprezanja pod kutom od  $45^\circ$

Kad se (109) uvrsti u (108), dobiva se:

$$\sigma_x = \sigma_0 + k \sin 2\omega, \quad (110a)$$

$$\sigma_y = \sigma_0 - k \sin 2\omega, \quad (110b)$$

$$\tau_{max} = -k \cos 2\omega. \quad (110c)$$

Kad nema obujamnih sila, jednadžbe ravnoteže glase:

$$\frac{\partial \sigma_x}{\partial x} + \frac{\partial \tau_{xy}}{\partial y} = 0, \quad \frac{\partial \sigma_y}{\partial x} + \frac{\partial \sigma_y}{\partial y} = 0. \quad (111)$$

Nakon uvrštenja (110) u (111) dobiva se:

$$\frac{\partial \sigma_0}{\partial x} + 2k \left( \cos 2\omega \frac{\partial \omega}{\partial x} + \sin 2\omega \frac{\partial \omega}{\partial y} \right) = 0, \quad (112a)$$

$$\frac{\partial \sigma_0}{\partial y} - 2k \left( \cos 2\omega \frac{\partial \omega}{\partial y} - \sin 2\omega \frac{\partial \omega}{\partial x} \right) = 0. \quad (112b)$$

Ako se ravnila  $xy$  odabere tako da u promatranoj točki bude  $\omega = 0$ , tada se u beskonačno malenu okolišu točke može uzeti da je

$$dx = d\alpha, \quad dy = d\beta, \quad \frac{\partial}{\partial x} = \frac{\partial}{\partial \alpha}, \quad \frac{\partial}{\partial y} = \frac{\partial}{\partial \beta}, \quad (113)$$

pa izraz prelazi u oblik:

$$\frac{\partial}{\partial \alpha} (\sigma_0 + 2k\omega) = 0, \quad \frac{\partial}{\partial \beta} (\sigma_0 - 2k\omega) = 0. \quad (114)$$

Odatle je

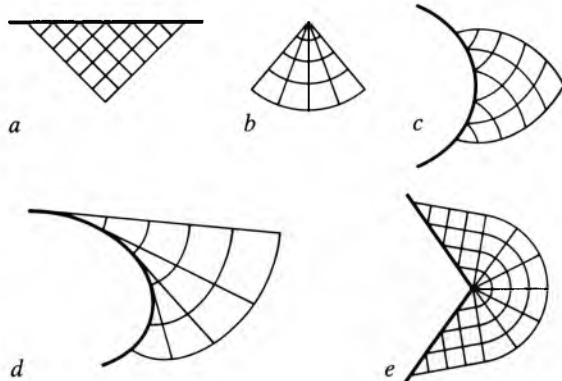
$$\sigma_0 + 2k\omega = f_1(\beta) \quad \text{na liniji } \alpha, \quad (115a)$$

$$\sigma_0 - 2k\omega = f_2(\alpha) \quad \text{na liniji } \beta. \quad (115b)$$

Neka točke  $M$  i  $N$  leže na istoj liniji klizanja i neka su  $\sigma_{0M}$  i  $\sigma_{0N}$  srednja normalna naprezanja u tim točkama, a  $\omega_M$  i  $\omega_N$  kutovi što ih tangente u točkama  $M$  i  $N$  čine s osi  $x$ . Tada je

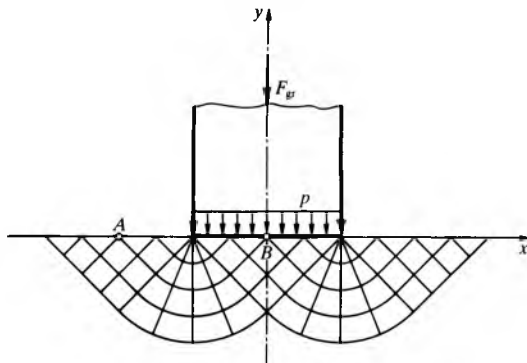
$$\sigma_{0M} - \sigma_{0N} = \pm 2k(\omega_M - \omega_N). \quad (116)$$

To znači da je promjena srednjega normalnog naprezanja uzduž linije klizanja razmjerna zakretu tangente. Pozitivni predznak odnosi se na liniju  $\alpha$ , a negativni na liniju  $\beta$ .

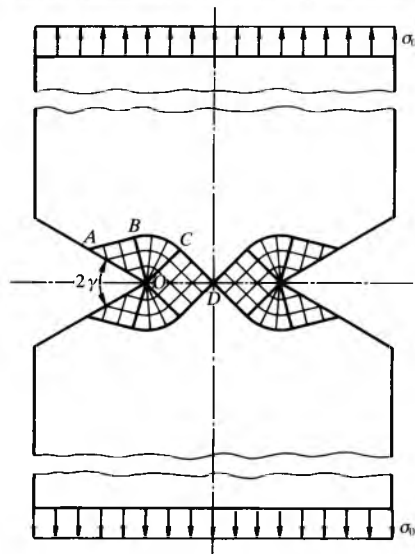


Sl. 32. Tipična polja linija klizanja. a) homogeno polje, b) centralno polje, c) polje logaritamskih spirala, d) polje evolvenata i pravaca, e) prijelaz između dvaju homogenih polja jednak je centralnom polju

Na sl. 32 prikazana su neka tipična polja klizanja. Ako je poznato polje linija klizanja i ako je poznato srednje normalno naprezanje u jednoj od točaka polja, to je obično točka na rubu, onda se može odrediti naprezanje u bilo kojoj točki polja. Neka je točka  $A$  na rubu polja, a točka  $B$  u polju.



Sl. 33. Utiskivanje krutoga žiga u poluravninu



Sl. 34. Polje linija klizanja u rastegnutom štapu s dva oštra utora u obliku slova V

Tada su nepoznance  $\sigma_x^A, \sigma_y^A, \sigma_x^B, \sigma_y^B$ . Za njihovo određivanje na raspolaganju su tri jednadžbe i jedan rubni uvjet. Naime, na rubu je poznato ili  $\sigma_x^A$  ili  $\sigma_x^B$ . Uvjet tečenja u točkama A i B glasi:

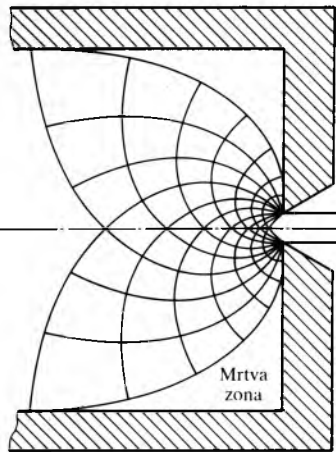
$$|\sigma_x^A - \sigma_y^A| = 2k \quad \text{i} \quad |\sigma_x^B - \sigma_y^B| = 2k. \quad (117)$$

Također je

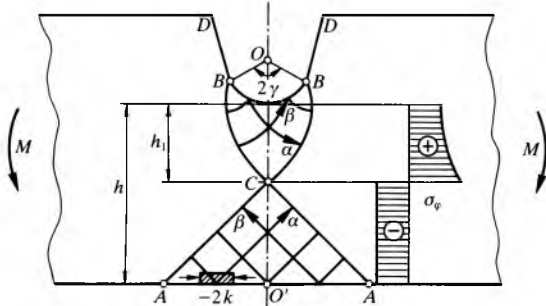
$$\sigma_0^A = \frac{1}{2}(\sigma_x^A + \sigma_y^A), \quad \sigma_0^B = \frac{1}{2}(\sigma_x^B + \sigma_y^B), \quad (118)$$

pa je prema (116)

$$\sigma_0^A - \sigma_0^B = \pm 2k(\omega_A - \omega_B). \quad (119)$$



Sl. 35. Polje linija klizanja pri ekstruziji za omjer redukcije 12,5



Sl. 36. Polje linija klizanja u ploči s utorom koja je opterećena na savijanje. Gornji se dio polja sastoji od logaritamskih spirala, a donji je dio homogeno polje linija klizanja

Na sl. 33 prikazan je kruti žig koji se utiskuje u plastičnu poluravninu. U točki A poluravnine očito je  $\sigma_x^A = 0$  i  $\omega_A - \omega_B = -\pi/2$ , pa je u točki B poluravnine  $-\sigma_y^B = p = (2 + \pi)k$ , odnosno

$$F_{gr} = (2 + \pi)kb, \quad (120)$$

gdje je  $k = \sigma_T/2$  za Trescicin, a  $\sigma_T/\sqrt{3}$  za von Misesov kriterij. Slike 34, 35 i 36 prikazuju polje linija klizanja za neke primjere primjene metode linija klizanja.

LIT.: L. M. Качанов, Основы теории пластичности. Наука, Москва 1969. – В. В. Соколовский, Теория пластичности. Высшая школа, Москва 1969. – Н. Н. Малинин, Прикладная теория пластичности и ползучести. Машиностроение, Москва 1975. – В. Д. Клюшников, Математическая теория пластичности. Издательство Московского университета, Москва 1979. – H. Lippmann, Mechanik des plastischen Fließens. Grundlagen und technische Anwendungen. Springer-Verlag, Heidelberg 1981. – H. Gödner, Lehrbuch Höhere Festigkeitslehre. Physik-Verlag, Weinheim 1985. – R. Hill, The Mathematical Theory of Plasticity. Oxford University Press, New York 1985. – D. R. J. Owen, E. Hinton, Finite Elements in Plasticity, Theory and Practice. Pineridge Press, Swansea U. K. 1986. – A. Borkowski, Analysis of Skeletal Structural Systems in Elastic and Elastic-Plastic Range. PWN Warszawa and Elsevier, Amsterdam 1988.

I. Alfirević

**TEORIJA SKUPOVA**, grana matematike koja proučava odnose među općim kolektivima, posebno među beskonačnim. Prema njezinu osnivaču G. Cantoru (1845–1918) skup je ujedinjenje u cjelinu određenih, međusobno različitih predmeta našeg opažanja ili mišljenja. To se, međutim, ne može smatrati nekom klasičnom, eksplicitnom definicijom skupa i teorije skupova, niti je nešto takvo uopće moguće, jer je pojma skupa toliko osnovan i općenit da se ne može svesti na nešto još osnovnije i općenitije.

Točnije razumijevanje o čemu je riječ moguće je tek postepeno, prateći sâm razvoj i izgradnju teorije skupova. (Tako je, npr., nemoguća zadovoljavajuća eksplicitna definicija pojma živo biće, ali se ipak može razumjeti o čemu je riječ jer se životom sâmim upoznaje i značenje toga pojma.)

**Naivna teorija skupova.** Klasična ili naivna teorija skupova još ne apstrahira od prirode skupova i elemenata koji ih čine, kao što su to, npr., u elementarnoj geometriji, bili Euklidovi *Elementi*, gdje se još pokušavalo »definirati« što su to točke i pravci, pa polazeći od »intuitivno očito istinitih« aksioma, kao polaznih tvrdnji, dalje razvijati geometriju. Za razliku od toga, u tzv. *aksiomatičkoj teoriji skupova* apstrahira se od prirode skupova, od toga što oni jesu, i proučavaju se samo njihovi međusobni odnosi, polazeći od aksioma koji se prihvaca po definiciji, iako im je motivacija da bi što je moguće točnije i punije odražavali odgovarajuće intuitivne okolnosti. Takva izgradnja teorije skupova odgovara u geometriji Hilbertovim (1862–1943) *Osnovama geometrije*, gdje se odustaje od definicije točke i pravca te se oni uzimaju kao »sustavi predmeta« o kojima se postavljaju aksiomi odnosa što među njima vrijede. Konačno, u formaliziranim aksiomatizacijama teorije skupova odustaje se i od sadržajne logike izvođenja posljedica (teoremâ) iz polaznih aksioma te se i ta logika formalizira aksiomatizacijom dopuštenih postupaka dedukcije. Ni naivna, ni aksiomatička, ni formalizirana teorija skupova nisu *kategoričke teorije*, tj. ni jedna od njih nije jedinstvena do *izomorfizma*. Postoje, naime, bitno različite teorije skupova pa bi, strogo uvezši, trebalo govoriti o teorijama, a ne o teoriji skupova. Primjerice, čak će i naivna teorija skupova ovisiti o tome prihvaca li se ili ne se prihvaca postojanje tzv. *inakcesibilnih brojeva*. U ovom prikazu neće biti pobliže riječi o aksiomatičkim i o formaliziranim teorijama skupova.

Prema novijim shvaćanjima, glavnina se suvremene matematike načelno može zasnovati na teoriji skupova (npr. *Bourbaki program*).

Cantor je teoriju skupova zasnovao radovima iz vremena posljednje trećine XIX. stoljeća. Pogotovo u povodu nekih rezultata Cantorove teorije u vezi s (aktualno) beskonačnim skupovima, njegova teorija prvotno nipošto nije bila općenito prihvaćena; među oponentima posebno se isticao L. Kronecker (1823–1891). Kritike su se posebno zaoštire u vezi s efektivnim *antinomijama*, protuslovijima koja su se, činilo se prirodno i neizbjegivo, javljala u kantorovskoj izgradnji naivne teorije skupova. Suprotnosti između Cantorova i Kroneckerova gledanja ostale su i kasnije kao nepomirljive razlike između tzv. *egzistencionalističkog* i tzv. *konstruktivističkog* shvaćanja matematike, odnosno legitimnosti njezinih predmeta i zaključivanja o njima. U daljoj izgradnji teorije skupova bitne su priloge dali F. Hausdorff (1868–1943), K. Gödel (1906–1978), P. Cohen i mnogi drugi.

Kantorovo *ujedinjavanje u cjelinu određenih predmeta opažanja ili mišljenja* zapravo je jedan od osnovnih načina funkcioniranja stvaranja pojmove. Kaže se, npr., *roj* pčelâ, *jato* golubova, *stado* ovaca itd. *Roj*, *jato*, *stado* ... skupovi su koji se, kao takvi, bitno razlikuju od predmetâ koji ih čine: *roj* pčelâ *nije* pčela, *jato* golubova *nije* golub, *stado* ovaca *nije* ovca itd. *Osnovna relacija u teoriji skupova* upravo i jest odnos *biti element od*. U nekim izgradnjama teorije skupova pristupa se programu uklanjanja protuslovlja tako da se razlikuje pojma *skupa* (kao uži) od pojma *klase*, pri čemu samo skupovi mogu biti elementi drugih skupova ili klasâ, dok klasa ne smije biti *lijevi član* u relaciji *element je od*.